

ศึกษาสมบัติเชิงกลของฐานฟันเทียมจากโพลิเมทิลเมทาเคริเลฟเรซิโนเรซิโน

ด้วยเส้นใยแก้ว

MECHANICAL PROPERTIES OF PMMA DENTURE BASE REINFORCED
WITH GLASS FIBERS

นางสาวณัชร์ ชูมา

รหัส 52364957

นางสาวกัทรพร ชุตินทร์

รหัส 52365107

| | |
|------------------------------------|---------------|
| ห้องเรียน ภาคบ่าย วิชากรรยาการสตรี | - 5 ล.ค. 2556 |
| วันที่รับ..... | |
| เลขทะเบียน..... | 163 24253 |
| เงินเรียนการนั่งถือ..... | ๕๙ |
| มหาวิทยาลัยแม่ฟ้า | ๒๖๑ |

๒๖๖

ปริญญา妮พนธ์นี้เป็นส่วนหนึ่งของการศึกษาหลักสูตรปริญญาวิศวกรรมศาสตรบัณฑิต
สาขาวิชาชีวกรรมเคมี ภาควิชาชีวกรรมอุตสาหการ
คณะวิศวกรรมศาสตร์ มหาวิทยาลัยนเรศวร
ปีการศึกษา 2555



ใบรับรองปริญญาบัตร

| | | | |
|-------------------|------------------------------------------------------------------------------|------|----------|
| ชื่อหัวข้อโครงการ | ศึกษาสมบัติเชิงกลของฐานฟันเทียมจากพอลิเมทิลเมทาเคริเลตเสริมแรงด้วยเส้นไนเก็ฟ | | |
| ผู้ดำเนินโครงการ | นางสาวณัชร์ ชุมา | รหัส | 52364957 |
| | นางสาวภัทรพร ชุตินทร์ | รหัส | 52365107 |
| ที่ปรึกษาโครงการ | ดร.นพวรรณ โน้มทอง | | |
| สาขาวิชา | วิศวกรรมเคมี | | |
| ภาควิชา | วิศวกรรมอุตสาหการ | | |
| ปีการศึกษา | 2555 | | |

คณะวิศวกรรมศาสตร์ มหาวิทยาลัยนเรศวร อนุมัติให้ปริญญานิพนธ์ฉบับนี้เป็นส่วนหนึ่ง
ของการศึกษาตามหลักสูตรวิศวกรรมศาสตรบัณฑิต สาขาวิชาวิศวกรรมเคมี

.....ที่ปรึกษาโครงการ

(ดร.นพวรรณ โน้มทอง)

.....กรรมการ

(ดร.อิศราวด ประเสริฐวงศ์)

.....กรรมการ

(ดร.กมรรัตน์ จันธรรม)

.....กรรมการ

(อาจารย์อาภากรณ์ จันทร์ปิรักษ์)

| | | | |
|--------------------------|-------------------------------------------------------------------------------|---------------|--|
| ชื่อหัวข้อโครงการ | ศึกษาสมบัติเชิงกลของฐานพื้นเที่ยมจากพอลิเมทิลเมทาคริเลตเสริมแรงด้วยเส้นใยแก้ว | | |
| ผู้ดำเนินโครงการ | นางสาวณัชร ชูมา | รหัส 52364957 | |
| | นางสาวภัทรพร ชุตินทร์ | รหัส 52365107 | |
| ที่ปรึกษาโครงการ | ดร.นพวรรณ ไม้ทอง | | |
| สาขาวิชา | วิศวกรรมเคมี | | |
| ภาควิชา | วิศวกรรมอุตสาหการ | | |
| ปีการศึกษา | 2555 | | |

บทคัดย่อ

ปัจจุบันความต้องการใช้ฐานพื้นเที่ยมเพื่อบูรณะการบาดเจ็บมีสูงอย่างต่อเนื่องเป็นสาเหตุให้มีความจำเป็นในการใช้ฐานพื้นเที่ยมเป็นจำนวนมาก แต่ในปัจจุบันฐานพื้นเที่ยมยังคงเป็นผลิตภัณฑ์ที่มีข้อด้อยหลายด้าน วัสดุพอลิเมทิลเมทาคริเลต (Poly (Methyl Methacrylate); PMMA) เป็นวัสดุที่นิยมใช้อย่างแพร่หลายในการประดิษฐ์ฐานพื้นเที่ยมเนื่องจากมีคุณสมบัติที่ดีหลายประการ คือ มีน้ำหนักเบา ดูดซึมน้ำน้อย เหมาะสมกับการใช้งานในช่องปากและช่องแซมได้ถ่ายราคา อย่างไรก็ตาม วัสดุพอลิเมทิลเมทาคริเลตยังคงมีข้อด้อยเรื่องความแข็งแรงของผิวและปัญหาการสึกกร่อน

การเลือกวัสดุเสริมแรงที่เหมาะสมรวมทั้งการปรับสภาพผิวด้วยสารคู่ควบ (Coupling Agents) ชนิดไชเลนเพื่อช่วยการยึดติดระหว่างวัสดุเสริมแรงและพอลิเมอร์หลัก จะมีผลต่อความแข็งแรงในการใช้งานของวัสดุคอมโพสิต โครงการนี้พยายามที่จะพัฒนาและปรับปรุงสมบัติของวัสดุฐานพื้นเที่ยมพอลิเมทิลเมทาคริเลตคอมโพสิตโดยการเปรียบเทียบผลของการใช้วัสดุเสริมแรงชนิดเดัน ไยแก้ว 3 รูปแบบ คือ เส้นใยแก้วแบบตัด เส้นใยแก้วแบบทิชชู และเส้นใยแก้วแบบบุราวนางาน โดย โครงการนี้ศึกษาสัดส่วนการใช้งานที่เหมาะสมของวัสดุเสริมแรง วัสดุทั้งหมดจะถูกทำการเปรียบเทียบด้วยการแข็งสารคู่ควบก่อนใช้เลนและไม่แข็งใช้เลน

การศึกษาด้านความแข็งแรงของฐานพื้นเที่ยมที่ไม่เสริมแรงและเสริมแรงด้วยเส้นใยแก้ว ปริมาณร้อยละ 1, 2 และ 4 %wt/v โดยการทดสอบความทนทานต่อแรงกระแทก แรงดัดโค้ง และแรงอัด พบร่วางฐานพื้นเที่ยมที่เสริมแรงด้วยเส้นใยแก้วแบบทิชชูที่ 4 %wt/v สามารถเพิ่มความทนทานต่อแรงกระแทกได้ร้อยละ 35 เมื่อเทียบกับฐานพื้นเที่ยมที่ไม่เสริมแรงและฐานพื้นเที่ยมที่เสริมแรงด้วยเส้นใยแก้วแบบตัดสันที่ 4 %wt/v สามารถรับแรงดัดโค้งได้ดีกว่าฐานพื้นเที่ยมที่ไม่เสริมแรงถึงร้อยละ 65 แต่การเสริมแรงด้วยเส้นใยแก้วทุกรูปแบบและทุกสัดส่วนกลับไม่เพิ่มความแข็งแรงต่อการทดสอบความทนทานต่อแรงอัด จากการศึกษาการเปรียบเทียบผลของการนำเส้นใยแก้วไปแข็งในสารใช้เลน 2 %v/wt และไม่แข็งใช้เลน พบร่วางไม่มีผลทำให้ค่าความแข็งแรงเพิ่มขึ้น

กิตติกรรมประกาศ

คณะกรรมการวิศวกรรมขอแสดงความขอบคุณบุคคล หน่วยงาน และสถาบันที่มีส่วนสำคัญที่ทำให้การจัดทำโครงการนี้สำเร็จลุล่วงไปได้ด้วยดี

ขอขอบพระคุณภาควิชาชีวกรรมอุตสาหการ คณะวิศวกรรมศาสตร์ มหาวิทยาลัยนเรศวร ที่ทำให้ได้มีโอกาสในการดำเนินโครงการ เอื้อเพื่อสถานที่ อุปกรณ์ในการดำเนินโครงการ และ คณะทันตแพทยศาสตร์ มหาวิทยาลัยนเรศวร ที่เอื้อเพื่อสถานที่และอุปกรณ์ในการดำเนินโครงการนี้

ขอขอบพระคุณอาจารย์พวรรณ โน้ตอง อาจารย์ศิริกาญจน์ ขันสัมฤทธิ์ คณาจารย์ภาควิชาชีวกรรมอุตสาหการ คณะวิศวกรรมศาสตร์ และอาจารย์นวภรณ์ จิตภิรมย์ศักดิ์ คณะทันตแพทยศาสตร์ ที่ได้ให้แนวความคิด คำแนะนำในการดำเนินงาน และโอกาสที่ดีเสมอมา

ขอขอบพระคุณ บิดา มารดา และเพื่อนๆ ที่เคยสนับสนุนและเป็นกำลังใจแก่คณะผู้ดำเนินโครงการตลอดมา จึงขอขอบพระคุณเป็นอย่างสูงไว้ ณ โอกาสนี้

คณะผู้ดำเนินโครงการวิศวกรรม
นางสาวณัชธร ชุมา
นางสาวภัทรพร ชุติน德拉

มีนาคม 2556

สารบัญ

| | |
|----------------------------------------------|----|
| หน้า | |
| ใบรับรองปริญญาบัตร..... | ก |
| บทคัดย่อภาษาไทย..... | ข |
| กิตติกรรมประกาศ..... | ค |
| สารบัญ..... | ง |
| สารบัญตาราง..... | ด |
| สารบัญรูป..... | ช |
| สารบัญสัญลักษณ์และอักษรย่อ..... | ย |
| บทที่ 1 บทนำ..... | 1 |
| 1.1 ความเป็นมาและความสำคัญของโครงการ..... | 1 |
| 1.2 วัตถุประสงค์ของโครงการ..... | 2 |
| 1.3 ขอบเขตการดำเนินโครงการ..... | 2 |
| 1.4 สถานที่ในการดำเนินโครงการ..... | 3 |
| 1.5 ระยะเวลาในการดำเนินโครงการ..... | 3 |
| 1.6 ขั้นตอนและแผนการดำเนินโครงการ..... | 3 |
| บทที่ 2 หลักการและทฤษฎี..... | 3 |
| 2.1 งานวิจัยที่เกี่ยวข้อง..... | 3 |
| 2.2 ทฤษฎีที่เกี่ยวข้อง..... | 7 |
| 2.3 ทฤษฎีการทดสอบสมบัติเชิงกล..... | 9 |
| บทที่ 3 วิธีดำเนินโครงการ..... | 16 |
| 3.1 การเตรียมเส้นสายแก้ว..... | 16 |
| 3.2 การเตรียมชิ้นงานทดสอบ..... | 18 |
| 3.3 การทดสอบสมบัติเชิงกลของชิ้นงานทดสอบ..... | 21 |
| บทที่ 4 ผลการทดลองและวิเคราะห์..... | 24 |
| 4.1 ชิ้นงานทดสอบ..... | 24 |
| 4.2 ผลการทดสอบสมบัติเชิงกล..... | 24 |
| 4.3 ผลการตรวจสอบการเรียงตัวของเส้นใย..... | 33 |

สารบัญ (ต่อ)

| | |
|----------------------------------|------|
| | หน้า |
| บทที่ 5 บทสรุปและข้อเสนอแนะ..... | 41 |
| 5.1 สรุปผลการทดลอง..... | 41 |
| 5.2 ข้อเสนอแนะ..... | 42 |
| เอกสารอ้างอิง..... | 43 |
| ภาคผนวก ก..... | 47 |



สารบัญตาราง

| ตารางที่ | หน้า |
|------------------------------------------------------|------|
| 1.1 ขั้นตอนและแผนการดำเนินโครงการ..... | 3 |
| 2.1 แสดงสมบัติทางกลของพอลิเมทิลเมทาคริเลต..... | 7 |
| 2.2 แสดงคุณสมบัติทางกลของฐานพันเทียม..... | 8 |
| ก.1 ตารางบันทึกผลการทดสอบสมบัติการรับแรงดัดโค้ง..... | 47 |
| ก.2 ตารางบันทึกผลการทดสอบสมบัติการรับแรงกระแทก..... | 48 |
| ก.3 ตารางบันทึกผลการทดสอบสมบัติการรับแรงอัด..... | 49 |
| ก.4 ตารางบันทึกผลการทดสอบสมบัติเชิงกลของ PMMA..... | 50 |



สารบัญรูป

| รูปที่ | หน้า |
|-----------------------------------------------------------------------------------------------------------|------|
| 2.1 ภาพแสดงชนิดของเส้นใยแก้ว..... | 10 |
| 2.2 ภาพแสดงตัวกล่างเชื่อมระหว่างพอลิเมอร์กับเส้นใย..... | 11 |
| 2.3 การทดสอบแรงดัดโค้ง..... | 13 |
| 2.4 การทดสอบแรงกระแทก..... | 14 |
| 2.5 การทดสอบแรงอัด..... | 15 |
| 3.1 วิธีการเตรียมเส้นใยแก้ว..... | 17 |
| 3.2 กลุ่มการทดลอง..... | 17 |
| 3.3 วิธีการเตรียมเบ้าหล่อแบบ..... | 19 |
| 3.4 วิธีการเตรียมชิ้นทดสอบ..... | 20 |
| 3.5 การทดสอบสมบัติความต้านทานต่อแรงดัดโค้ง..... | 21 |
| 3.6 ขนาดชิ้นทดสอบตามมาตรฐาน ASTM D790..... | 21 |
| 3.7 การทดสอบสมบัติความต้านทานต่อแรงกระแทก..... | 22 |
| 3.8 ขนาดชิ้นทดสอบตามมาตรฐาน ASTM D256..... | 22 |
| 3.9 การทดสอบสมบัติความต้านทานต่อแรงอัด..... | 23 |
| 3.10 ขนาดชิ้นทดสอบตามมาตรฐาน ASTM D695..... | 23 |
| 4.1 ขั้นงานทดสอบฐานพื้นเที่ยมที่ไม่เสริมแรงด้วยเส้นใยแก้ว..... | 24 |
| 4.2 กราฟแสดงผลของปริมาณและชนิดของเส้นใยที่อสมบัติการทนต่อแรงดัดโค้ง (Young's Modulus of Bending) | 24 |
| 4.3 กราฟแสดงผลของปริมาณและชนิดของเส้นใยที่อสมบัติการทนต่อแรงกระแทก (Impact Strength)..... | 25 |
| 4.4 กราฟแสดงผลของปริมาณและชนิดของเส้นใยที่อสมบัติการทนต่อแรงอัด (Compressive Strength)..... | 25 |
| 4.5 กราฟแสดงผลของปริมาณเส้นใยรูปแบบตัดสันที่แข็งเเรงและไม่แข็งเเรงต่อ สมบัติการทนต่อแรงดัดโค้ง..... | 27 |
| 4.6 กราฟแสดงผลของปริมาณเส้นใยรูปแบบยาวนานที่แข็งเเรงและไม่แข็งเเรงต่อ สมบัติการทนต่อแรงดัดโค้ง..... | 27 |
| 4.7 กราฟแสดงผลของปริมาณเส้นใยรูปแบบทิชชูที่แข็งเเรงและไม่แข็งเเรงต่อ สมบัติการทนต่อแรงดัดโค้ง..... | 28 |
| 4.8 กราฟแสดงผลของปริมาณเส้นใยรูปแบบตัดสันที่แข็งเเรงและไม่แข็งเเรงต่อ สมบัติการทนต่อแรงกระแทก..... | 29 |

สารบัญรูป (ต่อ)

| | |
|------------------------------------------------------------------------------------------------------------------------------------------------------------|------|
| รูปที่ | หน้า |
| 4.9 กราฟแสดงผลของปริมาณเส้นใยรูปแบบยาวงชนาที่แข็งใช่เลนและไม่แข็งใช่เลนต่อสมบัติการทบทอแรงกระแทก..... | 29 |
| 4.10 กราฟแสดงผลของปริมาณเส้นใยรูปแบบทิชชูที่แข็งใช่เลนและไม่แข็งใช่เลนต่อสมบัติการทบทอแรงกระแทก..... | 30 |
| 4.11 กราฟแสดงผลของปริมาณเส้นใยรูปแบบตัดสันที่แข็งใช่เลนและไม่แข็งใช่เลนต่อสมบัติการทบทออัด..... | 31 |
| 4.12 กราฟแสดงผลของปริมาณเส้นใยรูปแบบยาวงชนาที่แข็งใช่เลนและไม่แข็งใช่เลนต่อสมบัติการทบทออัด..... | 31 |
| 4.13 กราฟแสดงผลของปริมาณเส้นใยรูปแบบทิชชูที่แข็งใช่เลนและไม่แข็งใช่เลนต่อสมบัติการทบทออัด..... | 32 |
| 4.14 ชั้นงานทดสอบเสริมแรงด้วยเส้นไยแก้ว ก) เสริมแรงด้วยเส้นไยแก้วแบบตัดสัน ข) เสริมแรงด้วยเส้นไยแก้วแบบยาวงชนา ค) เสริมแรงด้วยเส้นไยแก้วแบบทิชชู..... | 33 |
| 4.15 เปรียบเทียบลักษณะทางกายภาพจากรูปถ่ายกล้องจุลทรรศน์ของเส้นใยแก้ว ก) เส้นใยแก้วรูปแบบตัดสัน ข) เส้นใยแก้วรูปแบบยาวงชนา ค) เส้นใยแก้วรูปแบบทิชชู..... | 34 |
| 4.16 การเรียงตัวของเส้นใยแก้วทั้งภายในชั้นทดสอบ ก) เส้นใยแก้วรูปแบบตัดสัน ข) เส้นใยแก้วรูปแบบยาวงชนา ค) เส้นใยแก้วรูปแบบทิชชู..... | 35 |
| 4.17 การศึกษาการยึดเกาะของเส้นใยแก้วรูปแบบตัดสันกับพอลิเมทิลเมทาคริเลต ก) เส้นใยแก้วรูปแบบตัดสันแข็งใช่เลน ข) เส้นใยแก้วรูปแบบตัดสันไม่แข็งใช่เลน..... | 37 |
| 4.18 การศึกษาการยึดเกาะของเส้นใยแก้วรูปแบบยาวงชนา กับพอลิเมทิลเมทาคริเลต ก) เส้นใยแก้วรูปแบบยาวงชนาแข็งใช่เลน ข) เส้นใยแก้วรูปแบบยาวงชนาไม่แข็งใช่เลน..... | 38 |
| 4.19 การศึกษาการยึดเกาะของเส้นใยแก้วรูปแบบทิชชูกับพอลิเมทิลเมทาคริเลต ก) เส้นใยแก้วรูปแบบทิชชูแข็งใช่เลน ข) เส้นใยแก้วรูปแบบทิชชูไม่แข็งใช่เลน..... | 39 |

สารบัญสัญลักษณ์และอักษรย่อ

| | | |
|-------------------|---|--------------------------------------------|
| ASTM | = | American Society for Testing and Materials |
| % wt | = | Percent by Weight |
| % wt/v | = | Percent Weight by Volume |
| % v/wt | = | Percent Volume by Weight |
| cm | = | Centimetre |
| MPa | = | Megapascal |
| J/cm ² | = | Joules per Square Centimeter |
| J/in ² | = | Joules per Square Inch |



บทที่ 1

บทนำ

1.1 ความเป็นมาและความสำคัญของโครงงาน

ปัจจุบันความต้องการใช้ฐานฟันเทียมเพื่อบูรณะการบดเคี้ยวและเพื่อความสวยงามมีสูงอย่างต่อเนื่องเป็นสาเหตุให้มีความจำเป็นในการใช้ฐานฟันเทียมเป็นจำนวนมาก แต่ในปัจจุบันฐานฟันเทียมยังคงเป็นผลิตภัณฑ์ที่มีข้อด้อยหลายด้าน วัสดุพอลิเมริลเมทาคริเลตเป็นวัสดุที่นิยมใช้อย่างแพร่หลายในการประดิษฐ์ฐานฟันเทียมเนื่องจากมีคุณสมบัติที่ดีหลายประการ คือ มีความสวยงาม มีน้ำหนักเบา ดูดซึมน้ำน้อย สามารถกรองแต่ง ขัดเป็นเงางาม เหมาะสมกับการใช้งานในช่องปาก ซ้อมเชมได้ง่าย และราคาไม่แพง ฯลฯ [32] อย่างไรก็ตามวัสดุพอลิเมริลเมทาคริเลตยังคงมีข้อด้อยเรื่องความแข็งแรงของผิว และปัญหาการสึกกร่อน เมื่อเทียบกับฟันธรรมชาติและแตกหักง่ายเมื่อได้รับแรงบดเคี้ยวต่อเนื่องซ้ำๆ เนื่องจากเกิดเป็นรอยร้าวในบริเวณศูนย์รวมความเค้น (Stress-Concentration) รอยร้าวจะกล่าวเป็นรอยแตกและขยายตัวต่อไปจนทำให้เกิดการแตกหักได้เมื่อพยากรณ์คัดเลือกวัสดุอื่นมาใช้แทนพอลิเมริลเมทาคริเลต เช่น พอลิเอไมด์ พอลิสไตรรีน แต่พบว่า วัสดุเหล่านี้มีการดูดซึมน้ำ (Water Sorption) สูงทำให้เกิดการเปลี่ยนแปลงมิติ (Dimensional Change) ส่งผลต่อการใช้งานและไม่มีสมบัติเหนือกว่าพอที่จะแทนที่พอลิเมริลเมทาคริเลตได้ [1-4]

วัสดุพอลิเมริลเมทาคริเลตคอมโพสิตจึงได้รับการวิจัยและพัฒนาขึ้นเพื่อแก้ปัญหาการแตกหักและการสึกกร่อนง่ายของฐานฟันเทียม วัสดุคอมโพสิตได้ถูกพัฒนาอย่างต่อเนื่องโดยวิธีการต่างๆ เช่น การเสริมแรงด้วยการเติมวัสดุอัดแทรกอนินทรีย์ (Inorganic Fillers) ชนิดเส้นใยและชนิดอนุภาค การเสริมแรงวัสดุพอลิเมริลเมทาคริเลตด้วยเส้นใยมีการเลือกใช้เส้นใยหลายชนิด โดยเส้นใยที่เลือกใช้จะมีค่านอกลัศของความยืดหยุ่นสูงกว่าพอลิเมริลเมทาคริเลต ซึ่งเส้นใยที่นิยมนำมาศึกษา นั้น ได้แก่ เส้นใยcarbon เส้นใยแก้ว และเส้นใยอะรามิด [7-25] กระบวนการศึกษาการเติมวัสดุอัดแทรกอนินทรีย์ชนิดอนุภาค พบว่าสมบัติของวัสดุคอมโพสิตมีความเปลี่ยนแปลงไปขึ้นอยู่กับชนิดและปริมาณของอนุภาคและโดยส่วนใหญ่แล้ววัสดุคอมโพสิตที่เติมวัสดุอัดแทรกอนินทรีย์จะให้ค่าความแข็งแรงที่ดีกว่าวัสดุพอลิเมอร์พื้นฐาน [10-16]

ดังนั้นการเลือกวัสดุอัดแทรกอนินทรีย์ที่เหมาะสมรวมทั้งการปรับสภาพผิวด้วยสารคุ้กวงชนิดไซเลนเพื่อช่วยการยึดติดระหว่างวัสดุอัดแทรกและพอลิเมอร์หลักจะมีผลต่อความแข็งแรงในการใช้งานของวัสดุคอมโพสิตอย่างแน่นอน ดังนั้นการทดสอบวัสดุฐานฟันเทียมคอมโพสิตโดยคำนึงถึงสมบัติด้านนี้ของการรับแรงทดสอบจะทำให้สามารถคาดเดาพฤติกรรมของวัสดุคอมโพสิตนี้เมื่อนำไปใช้งานได้ [39-41] งานวิจัยนี้มีความพยายามที่จะพัฒนาและปรับปรุงสมบัติของวัสดุฐานฟันเทียมพอลิเมริล-เมทาคริเลตคอมโพสิตโดยการเปรียบเทียบผลของการใช้วัสดุอัดแทรกชนิดเส้นใยแก้ว 3 รูปแบบ คือ เส้นใยแก้วแบบตัดสิ้น เส้นใยแก้วแบบทิชชู และเส้นใยแก้วแบบยาวง蘅าน

งานวิจัยนี้ศึกษาสัดส่วนการใช้งานที่เหมาะสมของวัสดุอัคแทรค วัสดุทั้งหมดจะถูกทำการเปรียบเทียบระหว่างการปรับสภาพผิว ก่อนด้วยสารคุ่มควบกลุ่มไซเลนเพื่อเพิ่มการยึดติดกับพอลิเมทิลเมทาคริเลตและไม่ปรับสภาพผิวเส้นใยแก้ว จากนั้นวัสดุคอมโพสิตที่ได้จะถูกนำไปศึกษาเปรียบเทียบ สมบัติทางกลเพื่อเป็นแนวทางการปรับปรุงสมบัติ ลดข้อจำกัด และพัฒนาศักยภาพในการผลิตฐานฟันเทียม เพื่อประยุกต์ใช้ในงานทันตกรรมภายในประเทศไทยต่อไป

1.2 วัตถุประสงค์ของโครงการ

1.2.1 เพื่อศึกษาผลของการขึ้นรูปของชิ้นทดสอบเมื่อปรับเปลี่ยนชนิดและสัดส่วนของวัสดุพอลิเมทิลเมทาคริเลตคอมโพสิตเสริมแรงด้วยชนิดเส้นใยแก้ว 3 รูปแบบ คือ เส้นใยแก้วแบบตัดสั้นเส้นใยแก้วแบบทิชชู และเส้นใยแก้วแบบยาววางขนาด ที่แข็งไชเลนและไม่แข็งไชเลน

1.2.2 เพื่อเปรียบเทียบสมบัติทางกล ได้แก่ การทดสอบแรงกระแทก การทดสอบแรงอัด และการทดสอบแรงดัดโค้ง ของวัสดุพอลิเมทิลเมทาคริเลตคอมโพสิตที่เติมวัสดุอัคแทรคชนิดเส้นใยแก้วหลังการขึ้นรูป

1.3 ขอบเขตในการดำเนินโครงการ

1.3.1 ตัวแปรต้น

1.3.1.1 ชนิดของเส้นใยแก้ว 3 รูปแบบ คือ แบบตัดสั้น แบบทิชชู และแบบยาววางขนาดที่มีปริมาณเส้นใยร้อยละ 1, 2 และ 4 โดยน้ำหนักของเส้นใยต่อปริมาตรของพอลิเมทิลเมทาคริเลต

1.3.1.2 การปรับสภาพผิวของเส้นใยด้วยสารคุ่มควบกลุ่มไซเลน คือ แข็งไชเลนและไม่แข็งไชเลน

1.3.2 ตัวแปรควบคุม

1.3.2.1 วัสดุเนื้อหลัก คือ พอลิเมทิลเมทาคริเลตคอมโพสิตแบบบ่มด้วยความร้อน Heat-Curing Denture Base

1.3.2.2 สารคุ่มควบกลุ่มไซเลนร้อยละ 2 โดยปริมาตรของไซเลนต่อน้ำหนักของเส้นใย

1.3.3 ตัวแปรที่ศึกษา

สมบัติเชิงกล ได้แก่ การทดสอบแรงกระแทก การทดสอบแรงอัด และการทดสอบแรงดัดโค้งของวัสดุพอลิเมทิลเมทาคริเลตคอมโพสิตหลังการขึ้นรูป เมื่อเสริมแรงด้วยวัสดุอัคแทรคชนิดเส้นใยแก้วที่แข็งไชเลนเทียบกับวัสดุพอลิเมทิลเมทาคริเลตคอมโพสิตที่ไม่เสริมแรงและไม่แข็งไชเลน

1.4 สถานที่ในการดำเนินโครงการ

1.4.1 ภาควิชาวิศวกรรมอุตสาหการ คณะวิศวกรรมศาสตร์ มหาวิทยาลัยนเรศวร

1.4.2 คณะทันตแพทยศาสตร์ มหาวิทยาลัยนเรศวร

1.5 ระยะเวลาในการดำเนินโครงการ

ตั้งแต่วันที่ 5 มิถุนายน 2555 – 28 กุมภาพันธ์ 2556

1.6 ขั้นตอนและแผนดำเนินโครงการ

ตารางที่ 1.1 ขั้นตอนและแผนการดำเนินโครงการ

| | การดำเนินงาน | ระยะเวลาในการดำเนินโครงการ | | | | | | | | | |
|-------|----------------------------------------|----------------------------|-----|-----|-----|-----|-----|-----|-----|-----|--|
| | | ม.ย | ก.ค | ส.ค | ก.ย | ต.ค | พ.ย | ธ.ค | ม.ค | ก.พ | |
| 1.6.1 | รวบรวมข้อมูล | < | > | | | | | | | | |
| 1.6.2 | วางแผนดำเนินงาน | <> | | | | | | | | | |
| 1.6.3 | หาเครื่องมือและวัสดุติดเพื่อทำการทดลอง | | < | > | | | | | | | |
| 1.6.4 | ขึ้นรูปชิ้นทดสอบ | | | | < | > | | | | | |
| 1.6.5 | ทดสอบชิ้นงาน | | | | | | <> | | | | |
| 1.6.6 | วิเคราะห์ผลการทดลอง | | | | | | | <> | | | |
| 1.6.7 | สรุปผลการทดลองและทำรายงานวิจัย | | | | | | | | < | > | |

บทที่ 2

หลักการและทฤษฎี

2.1 งานวิจัยที่เกี่ยวข้อง

วัสดุฐานพื้นเทียมที่นิยมใช้ในปัจจุบันเป็นชนิดที่ทำจากวัสดุพอลิเมทิลเมทาคริเลต ซึ่งมีส่วนประกอบของส่วนผง คือ พงพอลิเมทิลเมทาคริเลตและส่วนของเหลว เมทิลเมทาคริเลท วัสดุพอลิเมทิลเมทาคริเลตมีสมบัติที่ดี คือ มีน้ำหนักเบา ถูกซึมน้ำน้อย สีสวยงาม และราคาถูก

จากการที่วัสดุพอลิเมทิลเมทาคริเลตเป็นวัสดุที่นิยมใช้อย่างแพร่หลายในการประดิษฐ์ฐานพื้นเทียมแต่ยังคงมีข้อด้อยในการใช้งาน คือ มีความแข็งแรงต่ำทำให้เกิดการแตกหักเมื่อได้รับแรงบดเคี้ยวต่อเนื่องซ้ำๆ นอก จาก นั้นฐานพื้นเทียมยังทนต่อการกระแทกต่ำจึงเกิดการแตกหักได้่ายากทำพื้นเทียนหล่นกระแทกขณะทำความสะอาด [1-4, 32] จึงมีผู้พยายามปรับปรุงสมบัติเชิงกลของวัสดุพอลิเมทิลเมทาคริเลตสำหรับใช้ทำฐานพื้นเทียมจากเอกสารงานวิจัยจำนวนหนึ่ง พบว่าผู้วิจัยนิยมใช้การเสริมแรงด้วยเส้นใยชนิดต่างๆ เพื่อเพิ่มความแข็งแรงให้กับพอลิเมทิลเมทาคริเลตโดยการเสริมแรงแก้วัสดุด้วยเส้นใยนั้นเป็นไปตามหลักของการเสริมแรงวัสดุด้วยเส้นใย [8] โดยพบว่าการใช้เส้นใยแต่ละชนิดมีข้อจำกัดที่แตกต่างกันแต่วัสดุคอมโพสิตพอลิเมทิลเมทาคริเลตเสริมแรงที่ได้มีความแข็งแรงมากขึ้น [9-25]

Aydin และคณะ [10] รายงานผลการวิจัยว่าการใช้เส้นใยแก้วในรูปแบบเส้นยาวและรูปแบบสามกันเป็นแผ่นสามารถเพิ่มค่าความแข็งแรงตัดของพอลิเมทิลเมทาคริเลต 3 ชนิด คือ ชนิดบ่มด้วยความร้อน ชนิดบ่มด้วยตัวเอง และชนิดบ่มด้วยแสง ได้อย่างมีนัยสำคัญ โดยรูปแบบเส้นยาวสามารถเพิ่มค่าความแข็งแรงตัดได้ร้อยละ 50 ซึ่งมากกว่ารูปแบบสามกันเป็นแผ่นที่เพิ่มค่าความแข็งแรงตัดของพอลิเมทิลเมทาคริเลตได้ร้อยละ 21

Karacaer และคณะ [13] ทำการทดลองใช้เส้นใยแก้วชนิด E รูปแบบตัดสั้นที่มีความยาว 4 ถึง 8 มิลลิเมตร ปริมาณร้อยละ 1 ถึง 5 โดยน้ำหนัก พบว่าเส้นใยแก้วสามารถปรับปรุงสมบัติทางกลของพอลิเมทิลเมทาคริเลตชนิดฉีด (Injection Molded) โดยสามารถเพิ่มความแข็งแรงตัดได้ร้อยละ 35 เพิ่มค่านองคุลลักษณ์ของความยืดหยุ่นได้ร้อยละ 48 และเพิ่มความทนทานต่อแรงกระแทกได้ร้อยละ 36 แต่การใช้เส้นใยแก้วกลับไม่เพิ่มสมบัติเชิงกลแก่พอลิเมทิลเมทาคริเลตชนิดอัด (Compression Molded)

Scott R. และคณะ [17] ได้ทำการศึกษาผลของตำแหน่งและการจัดเรียงตัวของเส้นใยพอลิเอทิลีนเส้นใยแก้วที่มีผลต่อการแตกหักของวัสดุคอมโพสิตทางการค้าสองชนิด ผลการวิจัยพบว่าวัสดุคอมโพสิตที่เสริมแรงด้วยเส้นใยพอลิเอทิลีนที่จัดเรียงตัวแบบ Diagonal มีความสามารถในการรับแรงได้ต่ำที่สุด ส่วนวัสดุคอมโพสิตที่รับแรงได้มากที่สุด คือ วัสดุคอมโพสิตที่เสริมแรงด้วยเส้นใยแก้วที่จัดเรียงตัวแบบสูงให้ผลในทิศทางเดียวกับงานวิจัยของ Katja K. และคณะ [15] พบว่าวัสดุพอลิเมทาคริเลตคอมโพสิตที่เสริมแรงด้วยเส้นใยแก้วมีความสามารถในการรับแรงตัดคงได้ดีกว่าวัสดุ

พอลิเมท้าคริเลตคอมโพสิตที่เสริมแรงด้วยเส้นใยพอลิเอทิลีนแต่ผลจากการศึกษาของ Vistasp M. และคณะ [20] กลับพบว่าถ้าเส้นใยพอลิเอทิลีนที่ใช้เป็นเส้นใยที่ถูกหอขึ้นรูปก่อนนำมาใช้เสริมแรง จะสามารถรับแรงตัดได้มากกว่าวัสดุคอมโพสิตที่เสริมแรงด้วยเส้นใยแก้วที่จัดเรียงตัวแบบสุ่ม โดยพบว่าวัสดุ คอมโพสิตที่เสริมแรงด้วยเส้นใยพอลิเอทิลีนที่ถูกหอขึ้นรูปก่อนนั้นมีความสามารถในการรับแรงตัดได้ดีกว่าวัสดุหลักที่ไม่ได้เสริมแรงถึงร้อยละ 119

Spyrides S.M.M. และคณะ [25] ได้ทำการศึกษาเบรียบเทียบสมบัติทางกลของวัสดุคอมโพสิตที่เสริมแรงด้วยเส้นใยแก้วและเส้นใยพอลิเอทิลีน จากผลการศึกษาพบว่าวัสดุคอมโพสิตที่เสริมแรงด้วยเส้นใยแก้วมีสมบัติด้านความสามารถในการรับแรงอัดดีกว่า ในขณะที่วัสดุคอมโพสิตที่เสริมแรงด้วยเส้นใยพอลิเอทิลีนมีความหนาแน่นมากกว่าส่วนการรับแรงตัดโครง และการเสียรูปให้ผลไม่แตกต่างกันระหว่างวัสดุเสริมแรงสองชนิด

Jacob J. และคณะ [38] ทำการศึกษาสมบัติแรงตัดโครงของวัสดุพอลิเมท้าคริเลตในกระบวนการ Heat-Polymerize สำหรับฐานฟันปลอม โดยใช้เส้นใยเสริมแรง 3 ชนิด คือ เส้นไนแก้ว เส้นไยอะรามิด และในลอน เนื่องจากคุณสมบัติโดยทั่วไปของวัสดุพอลิเมท้าคริเลตนั้นต้องสามารถต้านทานต่อการแตกหักได้ดี ทำการทดสอบด้วยแรงตัดโครงแบบ 3 จุด โดยใช้ชิ้นงานทดสอบกลุ่มละ 10 ชิ้น ที่มีขนาดเท่ากับสำหรับกลุ่มทดสอบ 4 กลุ่ม คือ วัสดุพอลิเมท้าคริเลตที่ถูกเสริมแรงด้วยเส้นไนแก้ว วัสดุพอลิเมท้าคริเลตที่ถูกเสริมแรงด้วยเส้นไยอะรามิด วัสดุพอลิเมท้าคริเลตที่ถูกเสริมแรงด้วยในลอน และกลุ่มสุดท้ายคือวัสดุพอลิเมท้าคริเลตที่ไม่เสริมแรงด้วยเส้นไย ผลการทดสอบพบว่าทุกชิ้นงานทดสอบที่ได้รับการเสริมแรงจากเส้นใยสามารถต้านทานต่อการแตกหักได้ดีกว่าวัสดุพอลิเมท้าคริเลตโดยทั่วไปที่ไม่ได้รับการเสริมแรง และพบว่าชิ้นงานทดสอบที่ได้รับการเสริมแรงจากเส้นไนแก้วนั้นสามารถต้านทานต่อการแตกหักได้ดีที่สุด ตามด้วยเส้นไยอะรามิด และสุดท้ายคือเส้นในลอน

Gülay U. และคณะ [39] ศึกษาผลของเส้นใยเสริมแรงแบบหอ 5 ชนิด ที่ส่งผลต่อความต้านทานแรงกระแทก (Impact Strength) และความต้านทานต่อความแข็งแรงแนวขวาง (Transverse-Strength) ของฐานฟันปลอม เนื่องจากโดยทั่วไปฐานฟันปลอมมีปัญหามากในเรื่องของการแตกหักได้ง่ายเนื่ Haley อธิบายว่าที่ได้ถูกนำมาใช้ในการแก้ปัญหาเหล่านี้ โดยการศึกษาในครั้งนี้เป็นการวัดผลโดยทำการทดสอบสมบัติ Impact Strength, Transverse Strength, Deflection และ Elasticity-Modulus Values จากเส้นใยเสริมแรงแบบหอทั้งหมด 5 ชนิด ด้วยกัน คือ เส้นไนแก้ว เส้นไยคาร์บอน เส้นไยเคฟลาร์แบบหนา เส้นไยเคฟลาร์แบบบาง และเส้นใยพอลิเอทิลีน โดยใช้ชิ้นทดสอบของพอลิเมทิลเมทาคริเลตแบ่งเป็นการทดสอบกลุ่มละ 10 ชิ้น รวมทั้งหมด 100 ชิ้น ที่ได้มีการเสริมแรงด้วยเส้นไน และกลุ่มควบคุมที่เสริมแรงด้วยเส้นไยอิกจำนวน 20 ชิ้น ทำการทดสอบแรงกระแทกโดยวิธีชาร์ปและทดสอบแรงตัดโครงแบบ 3 จุด ได้ผลการทดลอง คือ กลุ่มที่สามารถทนต่อแรงกระแทกมากที่สุด คือ กลุ่มที่ได้มีการเสริมแรงด้วยเส้นใยพอลิเอทิลีน ส่วนกลุ่มที่สามารถทนต่อแรงกระแทกได้น้อยที่สุด คือ กลุ่มที่ได้ไม่ได้มีการเสริมแรงด้วยเส้นไย แต่กลุ่มที่ได้มีการ

เสริมแรงด้วยเส้นใยพอลิเอทิลีนกลับมีความสามารถต่อความต้านทานความแข็งแรงในแนวขวางได้น้อยที่สุด ข้อสรุปของการศึกษาในครั้งนี้กล่าวว่า ความสามารถทนต่อแรงกระแทกของฐานฟันปลอมพอติเมทิลเมทาคริเลตเพิ่มขึ้นนั้นมีผลมาจากการเสริมแรงด้วยเส้นใย แต่การเสริมแรงด้วยเส้นใยไม่มีผลอย่างนัยสำคัญต่อความต้านทานความแข็งแรงในแนวขวาง

ถึงแม้ว่าความแข็งแรงของวัสดุคอมโพสิตเป็นปัจจัยหลักที่นักวิจัยจำนวนมากให้ความสนใจ แต่มีงานวิจัยอีกจำนวนหนึ่งซึ่งพบวิธีการทดสอบและควบคุมสมบัติบางประการที่ส่งผลต่อสมบัติการใช้งานของวัสดุคอมโพสิตด้วยเช่นกัน

Mesquita R.V. และคณะ [34] ได้ศึกษาผลของการเปรียบเทียบสมบัติด้านวิสโคลอสติกของวัสดุคอมโพสิตหันตกรรมทางการค้าสองชนิดโดยทำการทดสอบชิ้นงานหลังจากเก็บไว้ที่แห้งและแข็งชิ้นงานไว้ในน้ำก泠เป็นเวลา 1 วัน 7 วัน และ 3 เดือน ค่าข้อมูลการทดลองที่ได้ถูกวิเคราะห์ด้วยโปรแกรมทางสถิติ ANOVA พบว่าค่า Elastic Modulus มีค่าลดลงเมื่ออุณหภูมิและความถี่เพิ่มขึ้น และได้รับผลกระทบจากความชื้นมากกว่าค่า Viscous Modulus นอกจากนั้น Abdul S. และคณะ [12] ศึกษาสมบัติทางวิสโคลอสติกของวัสดุคอมโพสิตเช่นกันโดยได้ศึกษาเปรียบเทียบผลของการนำเส้นใยแก้วไปแขวนสารไขเลนและ Dimethacrylate Resin ก่อนการพอลิเมอร์ไรซ์คอมโพสิตที่ได้ให้ผลทางวิสโคลอสติกที่แสดงว่าการนำเส้นใยแก้วไปแขวนสารไขเลนและ Dimethacrylate Resin ก่อนทำให้คอมโพสิตที่ได้มีค่าความเหนียวเพิ่มขึ้น

Ming-Gene Tu และคณะ [40] ได้ทำการเปรียบเทียบสมบัติทางกล (Bending Strength, Bending Modulus, Compressive Strength and Compressive Modulus) ของพอติเมทิลเมทาคริเลตสำหรับใช้ในฐานฟันปลอม โดยนำเส้นใยเสริมแรงไปแขวนสารไขเลนสองชนิดระหว่าง γ -Methacryloxypropyl Trimethoxy ร้อยละ 2 โดยปริมาตรของไขเลนต่อน้ำหนักของเส้นใย กับ Triethoxyvinylsilane ร้อยละ 2 โดยปริมาตรของไขเลนต่อน้ำหนักของเส้นใย จากผลการศึกษา พบว่าเส้นใยเสริมแรงที่ถูกนำไปแขวนสารไขเลน Triethoxyvinylsilane ได้ผลทำให้สมบัติทางกลมีประสิทธิภาพมากกว่าเส้นใยเสริมแรงที่ถูกนำไปแขวน γ -Methacryloxypropyltrimethoxy

จากข้อมูลทางทฤษฎีและผลงานวิจัยที่ผ่านมาคณะผู้วิจัยได้เห็นถึงศักยภาพและความเป็นไปได้ของการพัฒนาสมบัติของวัสดุฐานฟันเทียนพอลิเมทาคริเลಥคอมโพสิต โดยกระบวนการเตรียมที่มีการใช้สารคู่ควบคู่กันไปแขวนที่เหมาะสมเพื่อให้ได้วัสดุฐานฟันเทียนพอลิเมทาคริเลಥคอมโพสิตที่มีคุณสมบัติดีโดยจะมีการทดสอบสมบัติที่จำเป็นต่างๆ หลังการทดลองขึ้นรูปเพื่อยืนยันสมบัติของวัสดุฐานฟันเทียนพอลิเมทาคริเลಥคอมโพสิตที่ได้

2.2 ทฤษฎีที่เกี่ยวข้อง

2.2.1 พอติเมทิลเมทาคริเลต [1, 2, 41]

พอลิเมทธิลเมทาคลิเลต หรืออะคริลิกพลาสติก (Acrylic Plastic) จัดเป็นพอลิเมอร์ในกลุ่มของเทอร์โมพลาสติก (Thermoplastic) ซึ่งมีสูตรเคมี คือ $C_5H_8O_2$ เมทิลเมทาคลิเลตมีสมบัติโดยเด่นในเรื่องความเหนียว ความโปร่งใสสามารถขึ้นรูปได้ง่ายและมีความหนาแน่นต่ำ พลาสติกชนิดนี้ถูกนำมาประยุกต์ใช้ในงานหลายอย่าง เช่น กระจกใส่บนเครื่องบินป้ายโฆษณา กระจกตู้ปลา วัสดุทางการแพทย์ เป็นต้น นอกจากนั้นแล้วอะคริลิกพลาสติกยังเป็นที่นิยมนำมาขึ้นรูปใช้แทนแก้วในงานหลายอย่างได้อย่างมีประสิทธิภาพ อะคริลิกพลาสติกเป็นพลาสติกที่สามารถเตรียมได้จากการนำโมโนเมอร์ของเมทธิลเมทาคิริเลต (Methyl Methacrylate, MMA) มาทำปฏิกิริยาการเกิดพอลิเมอร์ (Polymerization) ในปี ค.ศ. 1880 นักเคมีชาวเยอรมัน 2 คน คือ ฟิตติจ (Fittig) และพอล (Paul) สามารถสังเคราะห์พอลิเมทธิลเมทาคิริเลตแต่ยังไม่สามารถพัฒนาวิธีผลิตให้ได้แผ่นอะคริลิกพลาสติกได้ ต่อมาปี ค.ศ. 1901 ออทโท เริ่ม (Otto Röhm) นักเคมีชาวเยอรมันของสิทธิบัตรวิธีผลิตแผ่นพลาสติกมาจากโพลิเมทธิลเมทาคิริเลตในชื่อทางการค้า Plexiglas หลังจากนั้นในปี ค.ศ. 1936 จึงมีการผลิตแผ่น Plexiglas ออกจำหน่ายในเชิงพาณิชย์ เริ่มใช้ในช่วงสงครามโลกครั้งที่สอง นำมาใช้กับเรือดำน้ำ กระจกตู้ปลา และกระจกเครื่องบิน นอกจากนี้ยังมีพอลิเมทธิลเมทาคลิเลตที่ใช้ภายใต้เครื่องหมายการค้า เช่น ชนิดแผ่น Perspex (ICI), Oroglass และพอลิเมทธิลเมทาคลิเลตในรูปของ Diaxon (ICI), Acry-Ace (Fudow Chemical Co., Japan), Lucite (Du Pont)

แนวโน้มการนำพอลิเมทธิลเมทาคลิเลตมาใช้งานในรูปของอะคริลิกพลาสติกถูกประยุกต์ใช้ในงานหลายอย่างไม่ว่าจะเป็นเครื่องประดับ อุปกรณ์สำนักงาน อุปกรณ์ในห้องน้ำ สีทาบ้านป้ายโฆษณาหรือป้ายชื่อร้าน และอื่นๆ อีกมาก many ส่วนใหญ่มักเป็นทางเลือกแทนการใช้กระจกเนื่องจากมีความเบาบาง แตกง่าย ไม่ทนต่อรอยขีดข่วน และไม่ทนต่อสภาพอากาศ จึงทำให้อะคริลิกพลาสติกเป็นทางเลือกใหม่กับงานเฉพาะด้านมากขึ้น โดยสมบัติพื้นฐานของพอลิเมทธิลเมทาคลิเลต [41] เป็นพลาสติกรูปร่างที่มีพื้นผิวนานาสูง ทนทานสูง และโปร่งใส จัดเป็นวัสดุที่แข็งแต่เบาะ มีความต้านแรงดึง อัด และจุดแข็งดัดถือว่าเป็นที่น่าพอใจสามารถต้านทานรอยขีดข่วนได้ซึ่งสามารถสรุปคุณสมบัติออกได้ดังตาราง 2.1 และ 2.2

ตารางที่ 2.1 แสดงสมบัติทางกลของพอลิเมทธิลเมทาคิริเลต

| สมบัติทางกล | ข้อมูล |
|-------------------------------|-----------------------------|
| Young's Modulus | 1800-3100 MPa |
| Shear Modulus | 1700 MPa |
| แรงอัด (Compressive Strength) | 83-124 MPa |
| แรงดัด (Bending Strength) | 120-148 MPa |
| แรงกระแทก (Impact Strength) | 0.16-0.27 J/cm ² |

ที่มา : ตัดแปลงจาก J.A. Brydson. (1999). Plastics Materials. Butterworth Heinemann.

ตาราง 2.2 แสดงคุณสมบัติทางกลของฐานฟันเทียม

| สมบัติทางกล | ข้อมูล (ก่อนเสริมเส้นใย) | |
|-------------------------------|--------------------------|-------------------|
| แรงอัด (Compressive Strength) | 76 | MPa |
| แรงดัด (Bending Strength) | 139 | MPa |
| แรงกระแทก (Impact Strength) | 0.23-0.40 | J/in ² |

ที่มา : American National Standards Institute/ American Dental Association (ANSI/ADA)
มาตรฐานสมาคมทันตแพทย์แห่งสหรัฐอเมริกา เลขที่ 12

2.2.2 คอมโพสิต (Composite) [42]

คอมโพสิตเป็นวัสดุที่ประกอบด้วยการรวมกันของวัสดุมากกว่า 2 ประเภทเข้าด้วยกัน โดยทั่วไปคอมโพสิตมีวัสดุที่เป็นเนื้อหลัก (Matrix) และวัสดุเสริมแรง (Reinforcement Materials) ที่กระจายตัวอยู่ในเนื้อหลักนั้นวัสดุที่เป็นเนื้อหลักจะรองรับวัสดุเสริมแรงให้อยู่ในรูปร่างที่กำหนด ขณะที่วัสดุเสริมแรงจะช่วยเพิ่มหรือปรับปรุงสมบัติเชิงกลของวัสดุเนื้อหลักให้สูงขึ้นซึ่งวัสดุเสริมแรงอาจมีลักษณะเป็นเส้น ก้อน อนุภาค หรือเกล็ดกึ่งแทรกอยู่ในวัสดุเนื้อหลัก (Base Materials) อย่างโลหะ เชรามิกส์ หรือพอลิเมอร์ ผลของการรวมวัสดุต่างกัน 2 ประเภทเข้าด้วยกันทำให้คอมโพสิตมีความแข็งแรงโดยรวมมากกว่าเมื่อเทียบกับความแข็งแรงของวัสดุแต่ละประเภท พอลิเมอร์-คอมโพสิต (Polymer Matrix Composites-PMCs) ตัวอย่างผลิตภัณฑ์ที่พบเห็นได้ง่ายของคอมโพสิตกลุ่มนี้ คือ ผลิตภัณฑ์ที่ทำจากไฟเบอร์กลาสต่างๆ พอลิเมอร์คอมโพสิตมีพอลิเมอร์ซึ่งอาจจะเป็นพลาสติกหรือยางเป็นเนื้อหลัก และใช้วัสดุเสริมแรงได้หลายชนิด เช่น เส้นใยแก้วเส้นใยคาร์บอน เส้นลวดโลหะ เป็นต้น

การผสมพอลิเมอร์กับเส้นใยเสริมแรง เช่น เส้นใยแก้วเส้นใยคาร์บอนจะทำให้วัสดุมีสมบัติเดียวกันเพราเป็นการรวมเอาจุดเด่นของวัสดุพอลิเมอร์กับจุดเด่นของเส้นใยเสริมแรงเข้าไว้ด้วยกัน โดยเนื้อหลักของพอลิเมอร์ทำหน้าที่กระจายแรงที่กระทำต่อวัสดุลงไประหว่างเส้นใยแต่ละเส้น และพอลิเมอร์ยังทำหน้าที่ปักป้องเส้นใยในให้เสียหายเนื่องจากการเสียดสีและการกระแทก ผลของการรวมพอลิเมอร์กับเส้นใยเสริมแรงทำให้วัสดุพอลิเมอร์คอมโพสิตมีจุดเด่นหลายอย่าง ได้แก่ มีค่าความแข็งแรงสูง สามารถขึ้นรูปง่าย น้ำหนักเบา และทนทานต่อสภาพแวดล้อมต่างๆ โดยปัจจัยที่มีผลต่อสมบัติของวัสดุคอมโพสิต มีดังต่อไปนี้ สมบัติของเส้นใยเสริมแรง สมบัติของพอลิเมอร์ (เรซิน) และสัดส่วนของเส้นใยเสริมแรง (Fiber Volume Fraction-FVF) เนื่องจากวัสดุที่เป็นเส้นใยเสริมแรงมักมีสมบัติเชิงกลสูงกว่าพอลิเมอร์ ตั้งน้ำหนักคอมโพสิตมีเส้นใยเสริมแรงมากขึ้นจะทำให้วัสดุมีสมบัติเชิงกลสูงขึ้นแต่การผสมเส้นใยเสริมแรงกับพอลิเมอร์ก็มีข้อจำกัดเนื่องจากเส้นใยเสริมแรงความมีเนื้อ พอลิเมอร์ห่อหุ้มอยู่โดยรอบ

2.2.3 ตัวเสริมแรง [43]

เส้นใยเสริมแรง (Reinforcing Fibers) เป็นสารเติมแต่งที่ใส่ไปในพอลิเมอร์เพื่อเพิ่มความแข็งแรง (Strength) และความแข็ง (Stiffness) ให้กับพอลิเมอร์ และเรียกว่าสุดผสมที่ได้ว่าวัสดุเชิงประกลบหรือคอมโพสิต

2.2.3.1 สมบัติและโครงสร้างของวัสดุคอมโพสิตขึ้นกับปัจจัยต่อไปนี้ คือ

- ก. แรงดึงระหว่างพอลิเมอร์หลักและเส้นใยเสริมแรง
- ข. สมบัติของเส้นใยเสริมแรง
- ค. ขนาดและรูปแบบของเส้นใยเสริมแรง
- ง. ปริมาณเส้นใยเสริมแรงในพอลิเมอร์หลัก
- จ. การเรียงตัวหรือการกระจายตัวของเส้นใยเสริมแรงในพอลิเมอร์หลัก
- ฉ. เทคนิคการขึ้นรูป

2.2.3.2 หน้าที่ของเส้นใยเสริมแรงในพอลิเมอร์คอมโพสิต ได้แก่

- ก. เพิ่มความแข็งแรงให้กับวัสดุผสม
- ข. สามารถรับแรงกระแทกจากภายนอกที่กระทำต่อวัสดุผสมได้ ช่วยในการเกิดการเสียหายสภาพหรือการผิดรูปภายใต้แรงกระทำนานๆ โดยแรงกระทำนานจะถูกถ่ายทอดไปตามเส้นใย โดยที่ลักษณะของเส้นใยที่เป็นตัวเสริมแรงที่ดีจะต้องลักษณะ ดังนี้

- ข.1 เส้นผ่านศูนย์กลางมีขนาดเล็ก
- ข.2 อัตราความยาวต่อขนาดเส้นผ่านศูนย์กลางมีค่าสูง
- ข.3 มีความโค้งงอและความแข็งแรงสูง
- ข.4 มีค่ามอคูลัสของยังและค่าความแข็งแรงสูง
- ข.5 ความแข็งแรงของเส้นใยแต่ละเส้นไม่น่าจะแตกต่างกันมาก

2.2.3.3 เส้นใยเสริมแรงที่สำคัญและใช้กันมากกับพอลิเมอร์ มี 3 ชนิด คือ

- ก. เส้นใยแก้ว
- ข. เส้นใยคาร์บอน
- ค. เส้นใยอะรามิด

เส้นใยเสริมแรงแต่ละชนิดมีการผลิตขึ้นในลักษณะหลายรูปแบบ ได้แก่ เส้นใยยาวต่อเนื่องเส้นใยที่ถูกตัดสั้นๆ เส้นใยแบบผืนเสื่อ และเส้นใยแบบทอ โดยทั่วไปมักปรับสภาพพื้นผิวเส้นใยด้วยสารคุกคามเพื่อให้เส้นใยยึดกับพอลิเมอร์หลักได้ดีขึ้น สำหรับคอมโพสิตซึ่งประกอบด้วยเทอร์โมเซตและเส้นใยเสริมแรงนักเรียกว่า Fiber-Reinforced Plastics หรือเรียกย่อๆ ว่า FRB และถ้าเส้นใยที่ใช้คือเส้นใยแก้วมักเรียกคอมโพสิตนั้นว่า Fiber Glass ส่วนคอมโพสิตซึ่งประกอบด้วยเทอร์-

โนพลาสติกและพีลเยอร์เสริมแรง (โดยทั่วไปเป็นเส้นใย) เรียกว่า Reinforced Thermoplastics หรือเรียกย่อๆ ว่า RTP

2.2.4 เส้นใยแก้ว (Glass Fiber) [43]

เส้นใยแก้วเป็นสารเสริมแรงที่ใช้มากที่สุดกับพลาสติกทั้งชนิดเทอร์โมเซตและเทอร์โมพลาสติก เนื่องจากพลาสติกเสริมแรงที่ได้มีความแข็งแรงสูง มีน้ำหนักเบา มีเสถียรภาพทางรูปร่างสูง (High Dimensional Stability) มีความทนทานต่อการกันกร่อน และสามารถขึ้นรูปได้หลากหลาย จึงทำให้มีการนำพลาสติกเสริมแรงด้วยใยแก้วมาใช้แทนโลหะกันมาก องค์ประกอบของใยแก้วส่วนใหญ่ได้แก่ ซิลิกา (SiO_2) ส่วนที่เหลือจะเป็นออกไซเด茨นิดต่างๆ โดยใยแก้วชนิด E-Glass เป็นชนิดที่มีการผลิตและนำมาใช้งานในอุตสาหกรรมพลาสติกเสริมแรงมากที่สุด มีสมบัติด้านทานไฟฟ้าดีและมีความแข็งแรงสูง

รูปแบบของผลิตภัณฑ์จากใยแก้ว (Form of Glass Fiber Products) ในทางการค้า มีลักษณะหลายรูปแบบด้วยกัน แสดงดังรูปที่ 2.1 ได้แก่



ก) ข) ค) ง)
รูปที่ 2.1 ภาพแสดงชนิดของเส้นใยแก้ว

ที่มา : S.K. Mukhopadhyay. High-Perfomanced Fibers. The Textile Institute: Manchester.

ก. Rovings เป็นเส้นใยแก้วที่ยาวต่อเนื่องและนำมาพันเป็นม้วน แสดงดังรูป 2.1ก)

ข. Chopped Strands or Chopped Fibers ได้จากการนำเส้นใยมาตัดให้เป็นเส้นสั้นๆ มีความยาวอยู่ในช่วง 3-50 มิลลิเมตร (1/8-2 นิ้ว) แสดงดังรูป 2.1ข)

ค. Reinforcing Mats ได้จากการนำ Chopped Strands หรือ Continuous Strands มาวางในทิศทางที่ไม่แน่นอนแล้วทำให้เป็นแผ่นโดยใช้สารบinder (Resinous Binder) เป็นการประสานเส้นใยให้ยึดติดกัน แสดงดังรูป 2.1ค)

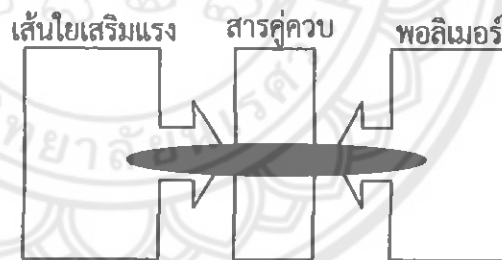
ง. Woven Roving บางครั้งเรียกว่า Yarns ทอให้เป็นผืน แสดงดังรูป 2.1ง)

การใช้งานของใยแก้วในพลาสติกใยแก้วจะถูกนำมาใช้เสริมแรงพลาสติกทั้งชนิดเทอร์โมเซตและเทอร์โมพลาสติกกันอย่างกว้างขวาง โดยพลาสติกชนิดเทอร์โมเซตที่นิยมนำมาเสริมแรงด้วยใยแก้ว ได้แก่ พอลิเอสเทอร์เมลามีนเรซินและพอลิยูรีเทน สำหรับเทอร์โมพลาสติกที่ใช้

ໄຍແກ້ໄດ້ສ່ວນໃໝ່ ອີ່ພລາສຕິກວິສາກຣມ ເຊັ່ນ PA, PC, PPE, PET ແລະ POM ເປັນຕົ້ນ ຄື່ງແນ້ວ່າ ພລິຕັກນໍ້າພລາສຕິເສຣີມແຮງດ້ວຍໄຍແກ້ຈະມີສົມບັດທີ່ດີ່ຫລາຍປະກາກກີ່ຕາມ ຂົດຕ້ອຍຂອງການໃໝ່ໄຍແກ້ ກີ່ມີບ້າງ ໄດ້ແກ່ ຄວາມທນແຮງຮະແທກ ຄວາມໂປ່ງໃສ ແລະ ຄວາມເງາຫີ່ຜົວຂອງພລິຕັກນໍ້າຈະລົດລົງ ນອກຈາກນີ້ໄຍແກ້ຢັ້ງສາມາດຮັດສີເຄື່ອງຈັກທີ່ໃໝ່ໃນການເຂົ້າຮູບໄດ້ອີກດ້ວຍ ຕ້ວອຍ່າງຂອງພລິຕັກນໍ້າ ພລາສຕິເສຣີມແຮງດ້ວຍໄຍແກ້ ໄດ້ແກ່ ຂັ້ນສ່ວນຮອຍນໍ້າ ລຳເຮົ່າ ອຸປະກນໍ້າທາງອຸທະສາກຣມທີ່ຕ້ອງການຄວາມ ທນທານຕ່ອງກັດກົດຮ່ອນ ຂັ້ນສ່ວນເຄື່ອງນູ້ ແລະ ເຄື່ອງໃໝ່ກາຍໃນບ້ານ ເປັນຕົ້ນ

2.2.5 ສາຮຸກ່ຽວປະເທດໄຊເລເນ [43]

ການປັບປຸງສົມບັດຂອງພອລິເມອ່ງໂດຍການເຕີມເສັ້ນໄຟເສຣີມແຮງຈະທຳໄຟສົມບັດຂອງພອລິເມອ່ງດີ້ເຂົ້ນແຕ່ມັກຈະມີປ່ອງຫາໃນການເຂົ້າກັນໄນ້ໄດ້ຂອງເສັ້ນໄຟເສຣີມແຮງກັບພອລິເມອ່ງ ວິທີທີ່ນີ້ຍົມໃໝ່ເພື່ອຫ່ວຍ ໄໃຫພອລິເມອ່ງສາມາດຍືດຕືດໄດ້ຕັບກັບເສັ້ນໄຟເສຣີມແຮງ ອີ່ພຣເຄລືອບທີ່ໂປ່ງສກາພື້ນຜົວຂອງເສັ້ນໄຟ ເສຣີມແຮງດ້ວຍສາຮ່າທີ່ສາມາດເຂົ້າກັນໄດ້ຕັບກັບທັງພອລິເມອ່ງແລະເສັ້ນໄຟເສຣີມແຮງ ຈຶ່ງສາຮນັ້ນ ອີ່ສາຮຸກ່ຽວປະເທດ ທີ່ໂປ່ງສກາພື້ນຜົວຂອງເສັ້ນໄຟເສຣີມແຮງ ແສດງດັ່ງຮູບທີ່ 2.2 ໂດຍການສ້າງພັນຮະທີ່ແຂ່ງແຮງກັບທັງສອງວັງກາດທຳໄຟມີກາຍຢືດເກາະຮ່ວງເຟສດີ ຈັ້ນ ໂດຍສາຮຸກ່ຽວປະເທດໃຫ້ໄຟຄວາມແຈ້ງແຮງຮ່ວງພັນຮະຂອງເສັ້ນໄຟແລະພອລິເມອ່ງທັກດີ້ເຂົ້ນ ການເສື່ອມ ປະສານຂອງຜົວສັນຜັກດ້ວຍສາຮຸກ່ຽວປະເທດຮ່ວງເສັ້ນໄຟກັບພອລິເມອ່ງທັກຈະລົດຈຳນວນຮູ່ພຽນໃນວັດຖຸໜ່າຍ ປັບກັນການເສີຍດີສີແລະຮອຍແທກ ຮະຫວ່າງກະບວນການຜສມແລະພລິຕັພອລິເມອ່ງເສຣີມແຮງ



ຮູບທີ່ 2.2 ກາພແສດງຕັກລາງເຂື່ອມຮ່ວງພອລິເມອ່ງກັບເສັ້ນໄຟເສຣີມແຮງ

2.2.5.1 ກລັກໃກ່ການສ້າງພັນຮະຢືດເກາະກັບໄຊເລເນ

ສາຮຸກ່ຽວປະເທດທີ່ນີ້ຍົມໃໝ່ມາກທີ່ສຸດ ອີ່ໄຊເລເນ ໂຄງສ້າງຂອງໄຊເລເນປະກອບດ້ວຍ ອະຕອມຊີລິກອນໜູ່ອັລຄືລື້ອ໌ເທິ່ງ 3 ໜູ່ມີຕ່ອກັບກຸ່ມຂອງອະຕອມຊີລິກອນ ແລະ ໜູ່ເຄີມຈະຕ່ອກັບກຸ່ມຂອງ ອະຕອມແລະ ມີກາຍຢືດເກາະຢືນຢັນກັບພອລິເມອ່ງທັງໝົດ ສາຮຸກ່ຽວປະເທດໄຊເລເນເປັນສາຮຸກ່ຽວປະເທດທີ່ນີ້ຍົມໃໝ່ກັນນາກໃນປັດຈຸບັນ ເນື່ອຈາກໄຊເລເນນຳໄປໃໝ່ຈາກໄດ້ຫລາກຫລາຍ ເຊັ່ນ ໃນພລາສຕິເສຣີມແຮງ ຈາກເຄລືອບຜົວ ຈາກທາສີ ນ້ຳໜູກ ກາວສາຮ ຢືດຕິດ ແລະ ຍາງ ມີຄວາມວ່ອງໄວໃນການເຂົ້າທຳ ປົກລິກອນໄດ້

สารคุ่มภูมิภาคไฮเลน (Silane) ใช้กับผลิตภัณฑ์ที่มีการเสริมแรงด้วยเส้นใยแก้ว มีสูตรทั่วไป คือ $Y-Si(OR)_3$ โดยหมู่ OR เช่น (-OCH₃, -OC₂H₅) เข้าทำปฏิกิริยาเกิดพันธะกับเส้นใยแก้ว ในขณะที่หมู่ Y เช่น หมูไวนิล หมูอะมีโน และหมูอีพอกซี่ เกิดปฏิกิริยา กับพอลิเมอร์ทำให้เส้นใยแก้วยึดกับพอลิเมอร์ได้ดี เช่น การใช้ไวนิลไตรเอทอกซ์ไฮเลน (Vinyltriethoxysilane) จะทำให้เส้นใยแก้วยึดกับพอลิเมอร์ได้ดี ดังนี้

ขั้นที่ 1 หมูเอทอกซ์ถูกไฮดรอลายเป็นชิลลานอล (Si-OH)



ขั้นที่ 2 ชิลลานอลเข้าทำปฏิกิริยากับหมู OH ที่พื้นผิวของเส้นใยแก้ว เกิดพันธะ Si-O-Si ระหว่างสารประสานกับเส้นใยแก้ว



ในขณะเดียวกันหมูไวนิลจะเข้าทำปฏิกิริยากับพอลิเมอร์เกิดเป็นพันธะไฮเลนต์ระหว่างสารคุ่มภูมิภาคกับพอลิเมอร์หลัก จึงทำให้เส้นใยแก้วมีแรงยึดระหว่างพอลิเมอร์หลักได้ดี ไฮเลนที่ผลิตออกทางการค้าจะมีหมู่ฟังก์ชัน (หมู่ Y) ที่แตกต่างกันออกไปเพื่อให้เหมาะสมกับการใช้งานกับพอลิเมอร์ชนิดต่างๆ เช่น ไฮเลนที่ประกอบด้วยหมูไวนิลจะถูกนำไปใช้งานกับพอลิเอสเทอร์ เเรชินชนิดไม่อิ่มตัว ในขณะที่ไฮเลนที่ประกอบด้วยหมูอีพอกซี่หรือหมูอะมีโนจะนำไปใช้งานกับพอลิเอโน่ต์ อีพอกซี่เรชิน หรือพอลิยูรีเทนชนิดเทอร์มอเซต เป็นต้น

2.3 ทฤษฎีการทดสอบสมบัติเชิงกล [44]

การพิจารณาเลือกวัสดุเพื่อนำมาใช้งานในลักษณะต่างๆ จำเป็นจะต้องทราบถึงคุณสมบัติของวัสดุเพื่อให้ได้วัสดุที่เหมาะสมกับสภาพงานนั้นๆ โดยคุณสมบัติทางกลเป็นคุณสมบัติที่เกี่ยวกับปฏิกิริยาที่เกิดขึ้นของวัสดุเมื่อมีแรงจากภายนอกมากระทำต่อวัสดุ สมบัติทางกล ได้แก่ ความแข็งแรง ความแข็ง ความสามารถในการยึดตัว ความยืดหยุ่น และความเหนียว เป็นต้น

ความเห็น (Stress) แรงต้านที่อยู่ภายในของวัสดุที่มีความพยายามในการต้านทานต่อแรงภายนอกที่มากระทำต่อวัสดุ

ความเครียด (Strain) เป็นความเครียดที่ปราศภัยให้แรงที่มากระทำต่อน้ำของวัสดุ จนวัสดุรับแรงนั้นไว้ไม่ไหว ทำให้เกิดการเปลี่ยนแปลงขนาดและรูปร่างไปในทิศทางของแรงที่มากระทำ

ความแข็งแรง (Strength) คือ ความแข็งแรงอัดสูงสุด ความแข็งแรงกระแทกสูงสุด หรือ แรงตัดโค้งสูงสุด ซึ่งสามารถสังเกตได้จาก Stress-Stain Curve จุดตรงจุดแตกหัก (Breaking Point) เรียกว่า จุดความแข็งแรงที่จุดแตกหัก

มอดูลัสของยัง (Young's Modulus) คือ อัตราส่วนของความเค้นต่อความเครียด มีหน่วยเป็นนิวตันต่อตารางเมตร (N/m^2) โดยวัตถุที่มีมอดูลัสของยังมากแสดงว่าวัตถุมีความทนต่อการเปลี่ยนแปลงความยาว หรือกล่าวอีกนัยหนึ่ง คือ วัตถุนั้นมีการเปลี่ยนแปลงความยาวน้อย โดยโครงงานนี้ทดสอบสมบัติทางกลด้วยกัน 3 ประเภท ดังนี้

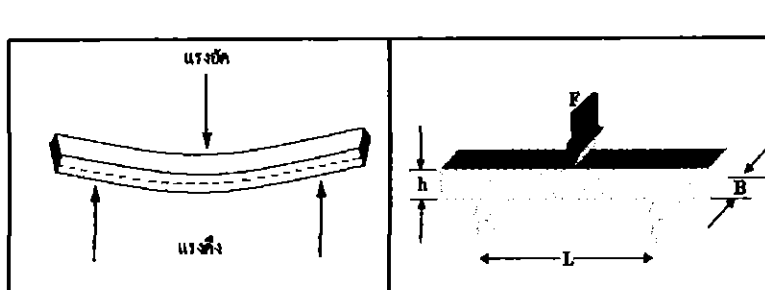
2.3.1 การทดสอบแรงตัดโค้ง

การทดสอบแรงตัดโค้งแบบ 3 จุด (Three Point Bending) เป็นวิธีประมาณค่าความต้านทานแรงดึงของวัสดุเป็นการทดสอบเพื่อดูค่าความสามารถของชิ้นงานในการทนต่อแรงตัด โค้ง โดยให้แรงกระทำที่จุดกึ่งกลางของชิ้นงานทดสอบและจุดรับรองในทิศทางตรงกันข้าม บริเวณปลายทั้งสองด้านที่มีระยะห่างจากจุดกึ่งกลางเท่ากัน โดยชุดกดและชุดรองรับต้องมีลักษณะเป็นผิวโค้งที่จุดสัมผัสเพื่อเป็นการลดแรงที่อาจทำให้ชิ้นงานเกิดการแตกหักบริเวณจุดสัมผัสนั้น ตามมาตรฐาน ASTM D790 (Standard Test Methods for Flexural Properties of Unreinforced and Reinforced Plastics and Electrical Insulating Materials) โดยเครื่อง Universal Testing Machine

$$\text{การคำนวณ ความเค้น (ความทนต่อแรงตัดโค้ง)} = \frac{3FL}{2Bh^2} \quad (2.3)$$

$$\text{ความเครียด} = \frac{6Yh}{L^2} \quad (2.4)$$

$$\text{มอดูลัส} = \frac{L^3}{4Bh^3} \left(\frac{F}{Y} \right) \quad (2.5)$$



| |
|---------------------------------------|
| F = แรงกระทำ |
| L = ระยะห่างระหว่างจุดรองรับทั้งสอง |
| ปลายทั้งสองด้าน |
| h = ความสูง |
| B = ความกว้าง |
| Y = ระยะการตัดของชิ้นงาน |

รูปที่ 2.3 การทดสอบแรงตัดโค้ง

ที่มา : จินตมัย สุวรรณประทีป (2547). การทดสอบสมบัติทางกลของพลาสติก. กรุงเทพฯ: สมาคมส่งเสริมเทคโนโลยี (ไทย-ญี่ปุ่น).

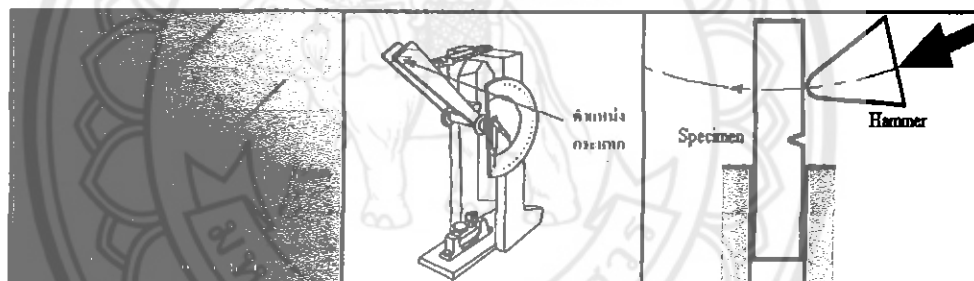
2.3.2 การทดสอบแรงกระแทก

การทดสอบแรงกระแทกแบบไอโซด (Izod Impact Test) คือการทดสอบเพื่อศึกษาความสามารถในการรับแรงกระแทกของวัสดุโดยค่า Impact Energy คือ ปริมาณของพลังงานที่วัสดุดูดซึมไว้ได้มีอัตราได้รับแรงกระแทกอย่างฉับพลันจนแตกหัก มีหน่วยเป็นฟุต-ปอนด์ (ft-lbf) หรือ จูล (Joule) โดยการทดสอบแรงกระแทกแบบไอโซดจะทำการจับยึดชิ้นงานและตีกระแทกเข้าชิ้นงานด้านที่มีรอยบาก ตามมาตรฐาน ASTM D256 (Standard Test Methods for Determining the Izod Pendulum Impact Resistance of Plastics) โดยเครื่อง Impact Tester

$$\text{การคำนวณ} \quad \text{ความหนาต่อแรงกระแทก} = \frac{W}{A} \quad (2.6)$$

โดย : W คือ พลังงานที่ทำให้ชิ้นงานแตกหัก (Joule)

A คือ พื้นที่บริเวณหลังรอยบาก (mm^2)



รูปที่ 2.4 การทดสอบแรงกระแทก

ที่มา : จินตมัย สุวรรณประทีป (2547). การทดสอบสมบัติทางกลของพลาสติก. กรุงเทพฯ:
สมาคมส่งเสริมเทคโนโลยี (ไทย-ญี่ปุ่น).

2.3.3 การทดสอบแรงอัด

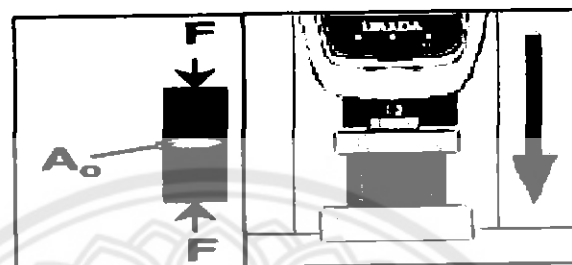
การทดสอบแรงอัดเป็นการทดสอบในลักษณะการกดอัดชิ้นทดสอบ คือ การวัดความสามารถในการทนต่อแข็งแรงอัดของชิ้นทดสอบ เป็นการทดสอบที่มีลักษณะการใส่แรงกระทำในแบบตรงข้ามกับการทดสอบแรงดึง คือ การทดสอบแรงดึงเป็นการทดสอบในลักษณะการดึงยึดชิ้นทดสอบ ส่วนการทดสอบแรงอัดเป็นการทดสอบในลักษณะการกดอัดชิ้นทดสอบตามมาตรฐาน ASTM D695 (Standard Test Method for Compressive Properties of Rigid Plastics) โดยเครื่อง Universal Testing Machine

การคำนวณ ความหนาต่อแรงอัด = $\frac{F}{A}$ (2.7)

โดย : F คือ แรงสูงสุดที่กระทำให้ชิ้นงานเกิด

การแตกหัก (N)

A คือ พื้นที่ตั้งฉากกับแนวแรง (mm^2)



รูปที่ 2.5 การทดสอบแรงอัด

ที่มา : สิทธิชัยแสงอาทิตย์ (2545). การทดสอบวัสดุ (Material Testing).

บทที่ 3

วิธีการดำเนินโครงการ

งานวิจัยนี้เป็นการศึกษาสมบัติเชิงกลของวัสดุพอลิเมทธาคริเลตคอมโพสิตที่เสริมแรงด้วยเส้นใยแก้ว 3 รูปแบบ คือ เส้นใยแบบตัดสัน เส้นใยแบบเส้นยาวางขนาด และเส้นใยแบบทิชชู ที่มีปริมาณเส้นใยร้อยละ 1 2 และ 4 %wt/v เปรียบเทียบกับวัสดุพอลิเมทธาคริเลตคอมโพสิตที่ไม่เสริมแรงและเส้นใยที่ใช้เลนปริมาณ 2 %v/wt กับไม้แซ๊ซเลน

3.1 การเตรียมเส้นใยแก้ว

3.1.1 วัสดุและสารเคมี

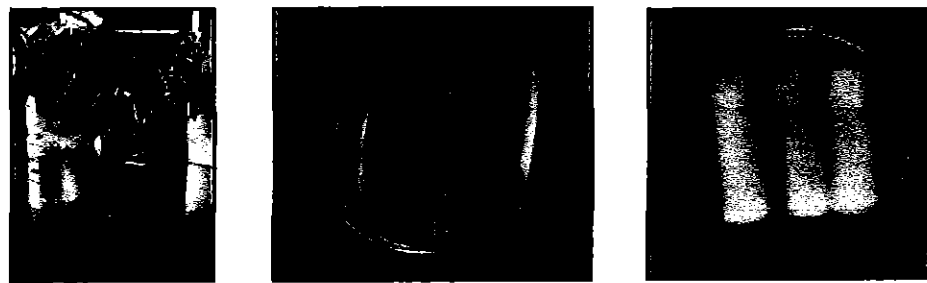
- 3.1.1.1 เส้นใยแก้วแบบตัดสัน
- 3.1.1.2 เส้นใยแก้วแบบเส้นยาว
- 3.1.1.3 เส้นใยแก้วแบบทิชชู
- 3.1.1.4 ไวนิลไทรอฟทอกซ์ไซเลน (Vinyltriethoxy Silane)

3.1.2 อุปกรณ์และเครื่องมือ

- 3.1.2.1 เครื่องซีง
- 3.1.2.2 กรรไกร
- 3.1.2.3 ถุงมือ

3.1.3 วิธีการเตรียมเส้นใยแก้ว

นำเส้นใยแก้ว ดังรูปภาพที่ 3.1 ทั้ง 3 รูปแบบ คือ แบบตัดสัน ก) เส้นใยแก้วแบบเส้นยาวางขนาด ข) และเส้นใยแก้วแบบทิชชู ค) ปริมาณร้อยละ 1, 2 และ 4 โดยน้ำหนักของเส้นใยต่อปริมาตรของพอลิเมทธาคริเลต นำเส้นใยแก้วแต่ละกลุ่มไปแช่ในไวนิลไตรอฟทอกซ์ไซเลนร้อยละ 2 โดยปริมาตรของไชเลนต่อน้ำหนักของเส้นใยเป็นเวลา 30 นาที เพื่อให้เส้นใยแก้วมีความอิ่มตัวและให้มีการยึดติดกับพอลิเมทธาคริเลตได้ดีขึ้น ดังรูปภาพที่ 3.1 โดยมีกลุ่มควบคุมการทดลองนี้ คือกลุ่มควบคุมที่ไม่เสริมเส้นใยแก้วและไม่นำไปแช่ในไวนิลไตรอฟทอกซ์ไซเลน สรุปการทดลองนี้แบ่งออกเป็น 19 กลุ่มการทดลอง ดังรูปภาพที่ 3.2

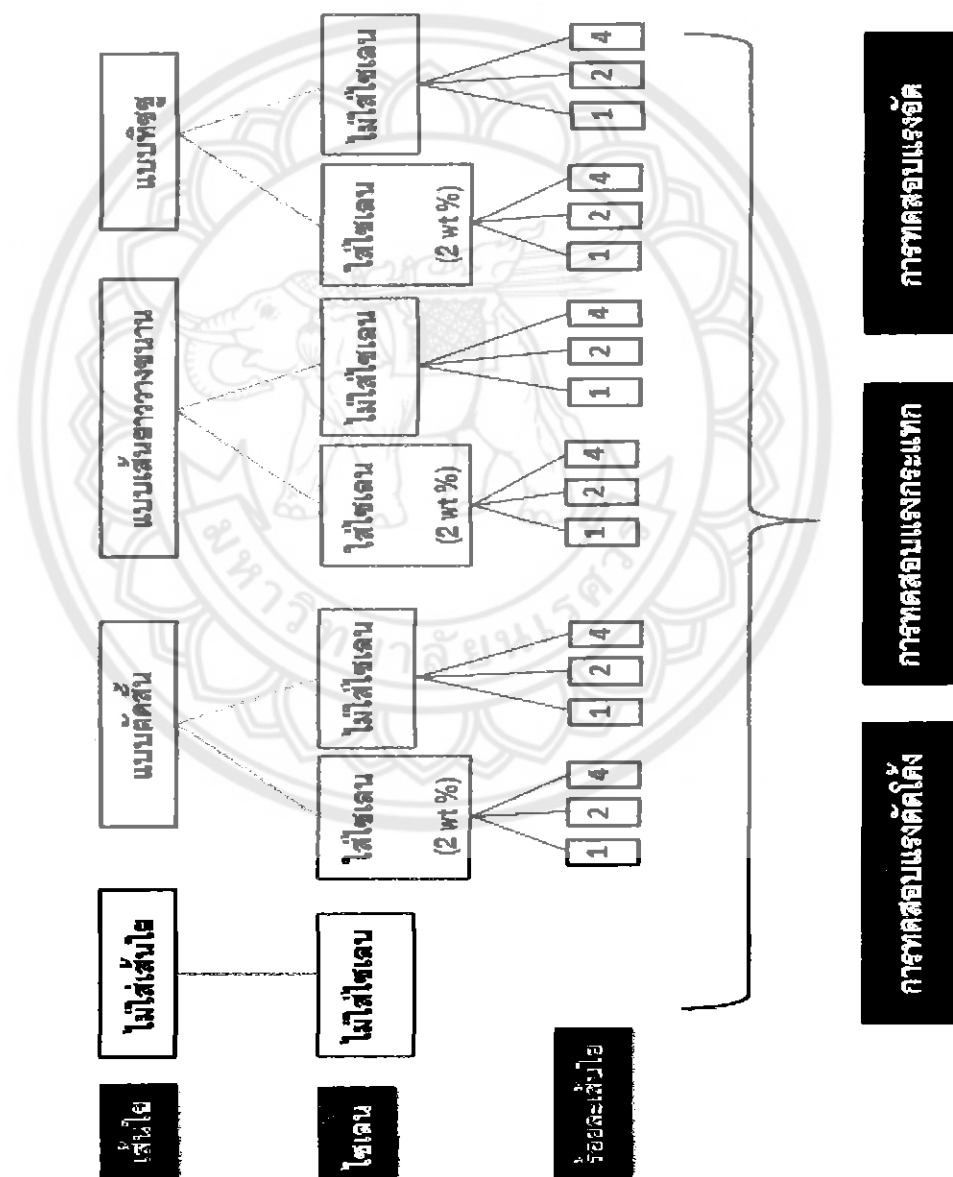


n)

۹۰

A)

รูปที่ 3.1 วิธีการเตรียมเส้นไยแก้ว



รูปที่ 3.2 กลุ่มการทดลอง

3.2 การเตรียมชิ้นงานทดสอบ

3.2.1 วัสดุและสารเคมี

3.2.1.1 พอลิเมทิลเมทาคริเลตชนิดปั่นด้วยความร้อนยีห้อ SR Triplex Hot ผลิตโดยบริษัท Ivoclar Vivadent Inc., 175 Pineview Drive, Amherst, NY 14228, USA

3.2.1.2 เส้นใยแก้วแบบตัดสัน เส้นใยแก้วแบบเส้นยาว และเส้นใยแก้วแบบทิชชูที่แข็งสารใช้เล่นกับที่ไม่แข็งสารใช้เล่น

3.2.1.3 ปูนปลาสเตอร์

3.2.1.4 ขี้ผึ้งทางทันตกรรม

3.2.2 อุปกรณ์และเครื่องมือ

3.2.2.1 ฟลาสโคโลหะสำหรับทำเบ้าหล่อแบบชิ้นทดสอบ

3.2.2.2 เครื่องอัดฟลาสโค

3.2.2.3 เครื่องบ่มพอลิเมทิลเมทาคริเลตด้วยความร้อน

3.2.2.4 เครื่องขัดชิ้นทดสอบ

3.2.2.5 ตู้อบควบคุมอุณหภูมิ

3.2.2.6 เครื่องตัดร่องปากชิ้นทดสอบ

3.2.2.7 เครื่องมือทดสอบสมบัติความต้านทานต่อแรงกระแทก (Impact Tester, Model XC-227)

3.2.2.8 เครื่องมือทดสอบสมบัติทางกลแบบเอนกประสงค์ (Universal Testing Machine)

3.2.3 วิธีเตรียมชิ้นงานทดสอบ

3.2.3.1 เตรียมเบ้าหล่อแบบ

ก. เตรียมชิ้นทดสอบ (ขนาดเท่ากับ ASTM ของการทดสอบแต่ละประเภท)

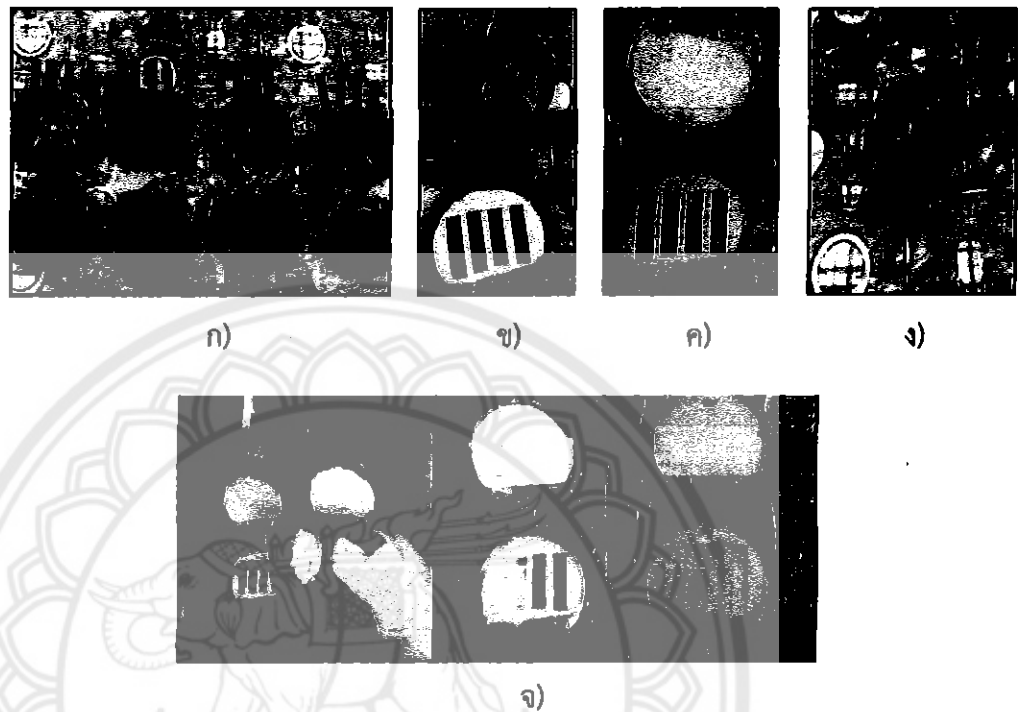
โดยใช้ขี้ผึ้งที่มีขนาดกว้างและยาวตามขนาดชิ้นทดสอบเป็นแบบในการทำการหล่อแบบ

ข. ผสมปูนปลาสเตอร์กับน้ำใส่ลงในเบ้าหล่อแบบล่าง หลังจากนั้นฝังแผ่นขี้ผึ้ง

ให้ผิวด้านบนเสมอ กับผิวปูนปลาสเตอร์และขอบของเบ้าหล่อแบบล่าง

ค. ผสมปูนปลาสเตอร์กับน้ำใส่ลงในเบ้าหล่อแบบบน

- ก. นำเบ้าหล่อแบบด้านบนและด้านล่างประกอบกัน เพื่อหลังจากปูน
พลาสเตรอร์แข็งตัวแยกเบ้าหล่อแบบบนและล่างออกจากกัน
ข. นำแผ่นซีฟิงออกจากเบ้าหล่อแบบและทำความสะอาดเบ้าหล่อด้วยน้ำร้อน



รูปที่ 3.3 วิธีการเตรียมเบ้าหล่อแบบ

3.2.3.2 วิธีการเตรียมชิ้นทดสอบ

ก. ผสมพอลิเมทิลเมทาคริเลตอัตราส่วน คือ ส่วนผงต่อส่วนน้ำเท่ากับ 23.4 กรัม ต่อ 10 มิลลิลิตร ผสมให้เข้ากันโดยนำไปวนในถุงพลาสติกจนนิ่มและทึบไว้สักครู่

ข. นำพอลิเมทิลเมทาคริเลตวางในเบ้าหล่อแบบเพื่อขึ้นรูปตามขนาดของชิ้นทดสอบ โดยรูปแบบการวางเส้นไขของแต่ละรูปแบบ ดังนี้

ข.1 เส้นไขรูปแบบตัดสัน เส้นไขแบบตัดสันจะใส่ลงไปรวมกับการผสม พอลิเมทิลเมทาคริเลตในขั้นตอน ก.

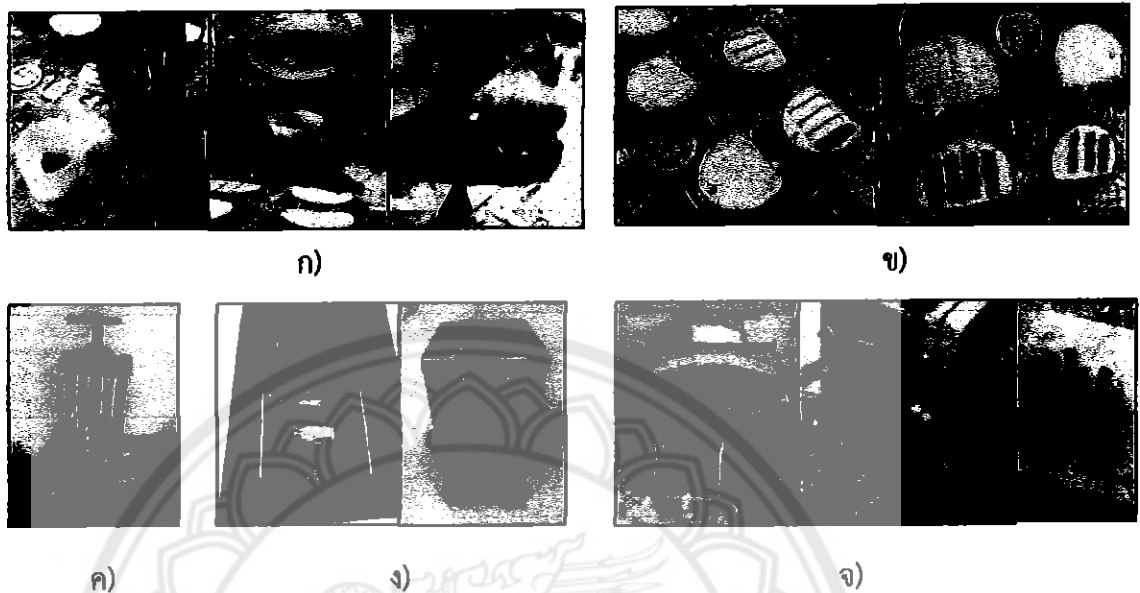
ข.2 เส้นไขรูปแบบยาวางขนาดและทิชชู นำพอลิเมทิลเมทาคริเลตวางลง 1 ใน 2 ส่วนของเบ้าหล่อแบบยาวางขนาดและทิชชูลงบริเวณกึ่งกลางเบ้าหล่อแบบ จากนั้นวางพอลิเมทิลเมทาคริเลตทับด้านบนของเส้นไขอีกครั้ง

ค. นำไปอัดด้วยเครื่องพลาสต์แบบไฮดรอลิก 100 บาร์

ง. นำไปบ่มด้วยความร้อนในน้ำที่อุณหภูมิ 100 องศาเซลเซียส เป็นเวลา 2

ชั่วโมง

จ. ขั้นทดสอบที่บ่มเสร็จแล้วออกมานาจากเบ้าหล่อแบบไปชัดด้วยเครื่องขัดเชิงทดสอบแบบงานหมุนเพื่อให้ได้ขนาดตามมาตรฐาน ASTM ของแต่ละการทดสอบ



รูปที่ 3.4 วิธีการเตรียมชิ้นทดสอบ

3.3 การทดสอบสมบัติเชิงกลของชิ้นงานทดสอบ

3.3.1 การทดสอบสมบัติแรงดัดโค้ง

สมบัติแรงดัดโค้ง (Flexural Properties) แบบ Pressing Bend เพื่อศึกษาพฤติกรรมการแปรรูปของวัสดุเมื่อได้รับแรงดัดโค้งด้วยรัศมีความโค้งที่กำหนดจนได้มุมตามที่กำหนดไว้ในมาตรฐานการทดสอบตรวจสอบโดยการใช้เครื่องมือทดสอบสมบัติทางกลแบบอุณภูมิประสี (Universal Testing Machine) ตามมาตรฐาน ASTM D790 จำนวนหัวอย่างที่ใช้ในการทดสอบชนิดละ 5 หัวอย่าง

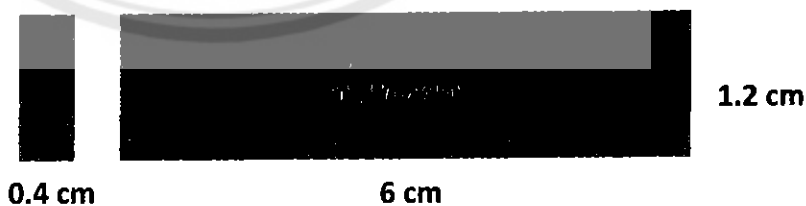
3.3.1.1 อุปกรณ์ที่ใช้ในการทดสอบสมบัติแรงดัดโค้ง

- ก. เครื่องมือทดสอบสมบัติทางกลแบบอุณภูมิประสี



รูปที่ 3.5 การทดสอบสมบัติความต้านทานต่อแรงดัดโค้ง [44]

ข. ชิ้นงานทดสอบรูปทรงสี่เหลี่ยมผืนผ้าหนา 0.4 เซนติเมตร ยาว 6 เซนติเมตร กว้าง 1.2 เซนติเมตร ให้มีขนาดตามมาตรฐาน ASTM D790 ดังรูป



รูปที่ 3.6 ขนาดชิ้นทดสอบตามมาตรฐาน ASTM D790

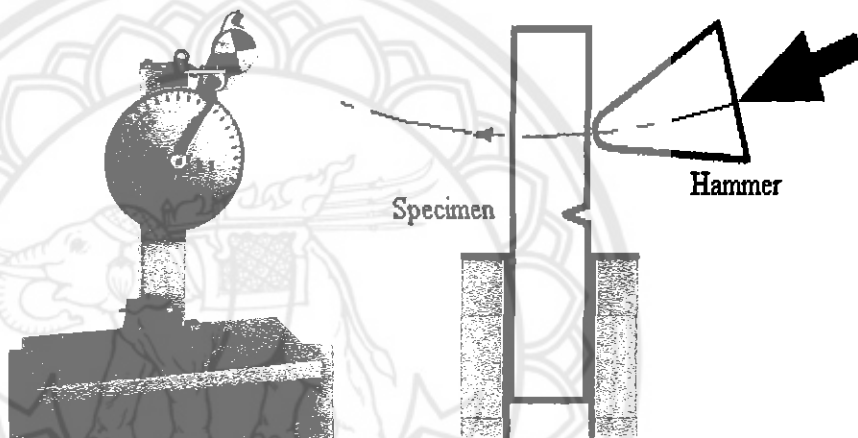
3.3.2 การทดสอบสมบัติความต้านทานต่อแรงกระแทก

สมบัติความต้านทานต่อแรงกระแทก (Impact Strength) ตรวจสอบโดยการใช้เครื่องมือทดสอบสมบัติความต้านทานต่อแรงกระแทก (Impact Tester, Model XC-227) ตามมาตรฐาน ASTM D256 โดยการใช้ค้อนตีขนาด 2.75 จูล จำนวนหัวอย่างที่ใช้ในการทดสอบนิยมละ 5 หัวอย่าง

3.3.2.1 อุปกรณ์ที่ใช้ในการทดสอบสมบัติความต้านทานต่อแรงกระแทก

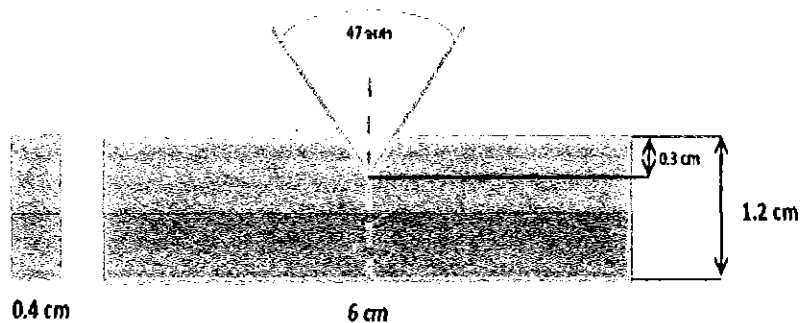
ก. ค้อนตีขนาด 2.75 จูล

ข. เครื่องทดสอบสมบัติความต้านทานต่อแรงกระแทก



รูปที่ 3.7 การทดสอบสมบัติความต้านทานต่อแรงกระแทก [44]

ค. ชนิดงานทดสอบรูปร่างสี่เหลี่ยมผืนผ้าหนา 0.4 เซนติเมตร ยาว 6 เซนติเมตร กว้าง 1.2 เซนติเมตร และทำร่องบางรูปตัว V ที่ตำแหน่งกึ่งกลางชิ้นทดสอบ ให้มีขนาดตามมาตรฐาน ASTM D256 ดังรูป



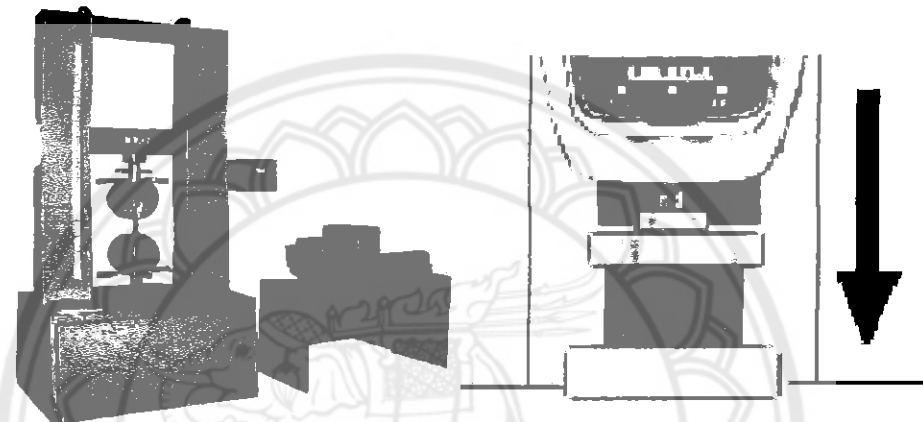
รูปที่ 3.8 ขนาดชิ้นทดสอบตามมาตรฐาน ASTM D256

3.3.3 การทดสอบแรงอัด

สมบัติแรงอัด (Compression Test) ตรวจสอบโดยการใช้เครื่องมือทดสอบสมบัติทางกลแบบเอนกประสงค์ (Universal Testing Machine) ตามมาตรฐาน ASTM D695 จำนวน 5 ตัวอย่างที่ใช้ในการทดสอบชนิดละ 5 ตัวอย่าง

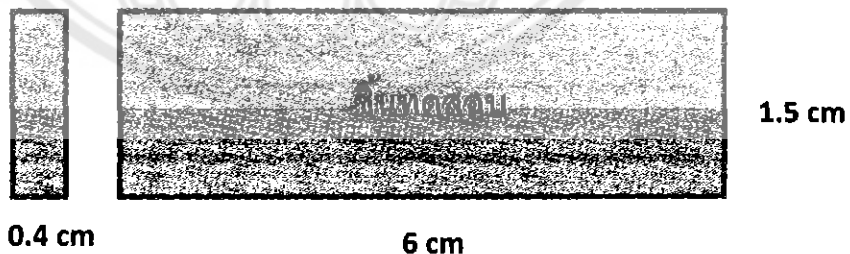
3.3.3.1 อุปกรณ์ที่ใช้ในการทดสอบสมบัติแรงอัด

- ก. เครื่องมือทดสอบสมบัติทางกลแบบเอนกประสงค์



รูปที่ 3.9 การทดสอบสมบัติความต้านทานต่อแรงอัด [44]

ข. จัดงานทดสอบรูปร่างสี่เหลี่ยมผืนผ้าหนา 0.4 เซนติเมตร ยาว 6 เซนติเมตร กว้าง 1.5 เซนติเมตร ให้มีขนาดตามมาตรฐาน ASTM D695 ดังรูป



รูปที่ 3.10 ขนาดจัดทดสอบตามมาตรฐาน ASTM D695

บทที่ 4

ผลการทดสอบและวิเคราะห์

4.1 ชิ้นงานทดสอบ

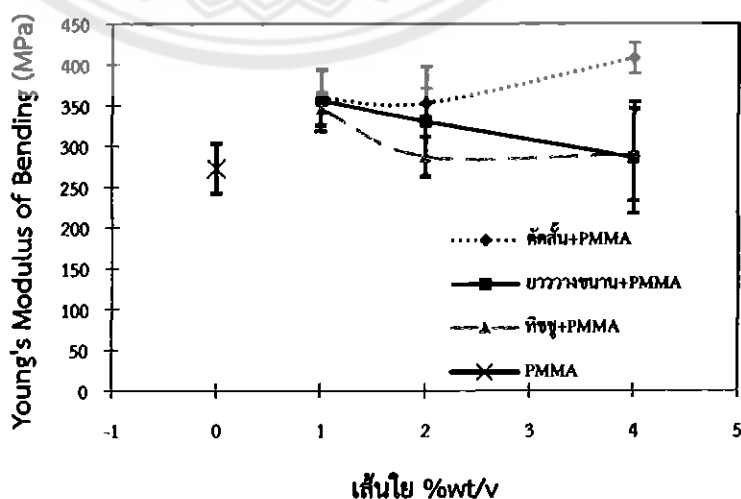
เตรียมขนาดฐานพื้นเทียมที่ไม่เสริมแรง ที่มีขนาดตามมาตรฐาน ASTM D790, D256 และ D695 ด้วยเครื่องอัดขึ้นรูป (Compression Molding) ที่ความดัน 100 บาร์ จากนั้นนำไปต้มขึ้นรูป ที่نمอต้มให้ความร้อนที่อุณหภูมิ 100 องศาเซลเซียส พบว่าพอลิเมทธาคริเลตและมอนอเมอร์ ละลายน้ำเป็นเนื้อเดียวกัน และเมื่อยืนจะแข็งตัวมีขนาดตามแม่พิมพ์ แสดงดังรูปที่ 4.1 โดยการ ขึ้นรูปฐานพื้นเทียมที่เสริมแรงด้วยเส้นใยแก้ว 3 รูปแบบ คือ รูปแบบตัดสัน รูปแบบยาววางขาน และรูปแบบทิชชูที่มีปริมาณเส้นใย คือ เส้นใย 1, 2 และ 4 %wt/v เปรียบเทียบกับไม่เสริมแรงด้วย เส้นใย



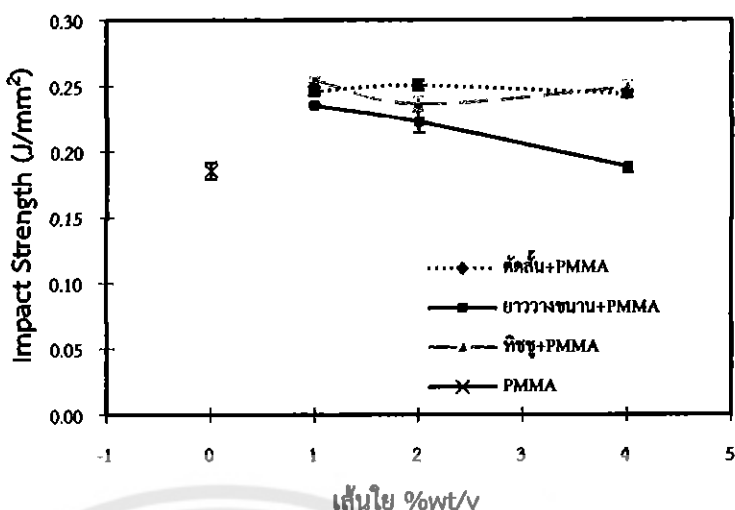
รูปที่ 4.1 ชิ้นงานทดสอบฐานพื้นเทียมที่ไม่เสริมแรงด้วยเส้นใยแก้ว

4.2 ผลการทดสอบสมบัติเชิงกล

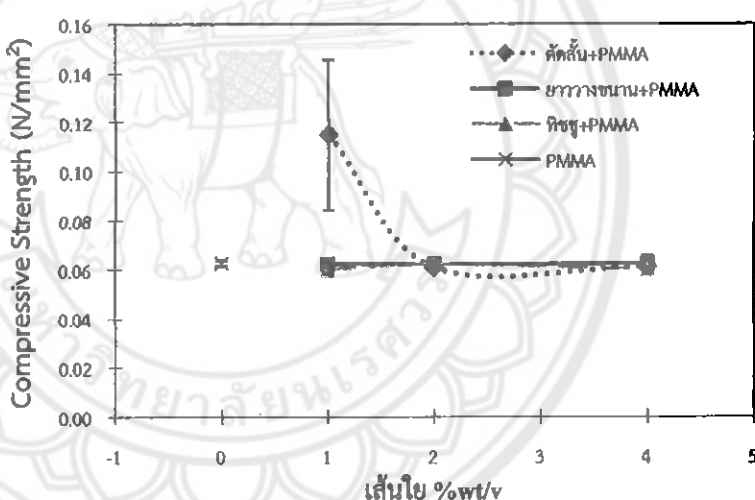
4.2.1 ผลการทดสอบเปรียบเทียบสมบัติเชิงกลระหว่างฐานพื้นเทียมที่ไม่เสริมแรงและ เสริมแรงด้วยเส้นใยแก้วให้ผลการทดสอบ แสดงดัง ตารางที่ ก 1, 2 และ 3 (ภาคผนวก ก)



รูปที่ 4.2 กราฟแสดงผลของปริมาณและชนิดของเส้นใยต่อสมบัติการทนต่อแรงดึง (Young's Modulus of Bending)



รูปที่ 4.3 กราฟแสดงผลของปริมาณและชนิดของเส้นใยต่อสมบัติการทนต่อแรงกระแทก (Impact Strength)



รูปที่ 4.4 กราฟแสดงผลของปริมาณและชนิดของเส้นใยต่อสมบัติการทนต่อแรงอัด (Compressive Strength)

จากรูปที่ 4.2, 4.3 และ 4.4 ผลการทดสอบแรงกระแทกและแรงดึงด้วยพืชพื้นเมืองที่ไม่เสริมแรงด้วยเส้นใยแก้วทั้ง 3 รูปแบบ มีค่าเฉลี่ยการทนต่อแรงกระแทกและแรงดึงด้วยพืชพื้นเมืองที่ไม่เสริมแรงในทุกๆ ปริมาณการทดสอบ ชนิดของเส้นใยที่สามารถทนต่อแรงกระแทกด้วยมากที่สุด คือ รูปแบบตัดสัน ส่วนรูปแบบของเส้นใยที่สามารถทนต่อแรงดึงด้วยมากที่สุด คือ รูปแบบตัดสันและรูปแบบทิชชู มีค่าที่ใกล้เคียงกันแสดงดังกราฟที่ 4.3 ในทางตรงกันข้ามค่าการทนต่อแรงอัดพืชพื้นเมืองที่ไม่เสริมแรงในทุกๆ ชนิด มีค่าเฉลี่ยการทนต่อแรงอัดใกล้เคียงกันกับพอลิเมทิลเมทาคริเลตที่ไม่เสริมแรง จากการศึกษาปริมาณ

ของเส้นใย ผลการทดสอบค่าการทวนต่อแรงกระแทกที่ปริมาณ 4 %wt/v ของเส้นใยรูปแบบตัดสั้น มีค่าเฉลี่ยที่มากที่สุด โดยเพิ่มค่าการทวนต่อแรงกระแทกร้อยละ 35 เมื่อเทียบกับพอลิเมทิลเมทาคริเลท ที่ไม่เสริมแรง ในขณะที่เส้นใยรูปแบบยาวของเส้นและรูปแบบทิชชูที่ปริมาณ 1 %wt/v มีค่าการทวนต่อแรงกระแทกที่สูงกว่า 2 %wt/v และ 4 %wt/v และการทดสอบแรงดึงด้วยปริมาณเส้นใยทุกปริมาณมีค่าการทวนต่อแรงดึงด้วยที่ใกล้เคียงกันโดยมีค่าเฉลี่ยเพิ่มค่าการทวนต่อแรงดึงด้วยปริมาณร้อยละ 65 เมื่อเทียบกับพอลิเมทิลเมทาคริเลทที่ไม่เสริมแรงแต่การเสริมแรงด้วยเส้นใยแก้วกลับไม่เพิ่มค่าการทวนต่อแรงอัด

ซึ่งมีผลสอดคล้องกับงานวิจัยของ Aydin และคณะ [5] Karacaer และคณะ [7] ซึ่งพบว่าการใช้เส้นใยแก้วในการเสริมแรงสามารถเพิ่มค่าความแข็งแรงด้วยของพอลิเมทิลเมทาคริเลทได้อย่างมีนัยสำคัญ โดยรูปแบบเส้นยาวสามารถเพิ่มค่าความแข็งแรงด้วยร้อยละ 50 ซึ่งมากกว่ารูปแบบสามกันเป็นแผ่นที่เพิ่มค่าความแข็งแรงด้วยของพอลิเมทิลเมทาคริเลทได้ร้อยละ 21 และทำการทดลองใช้เส้นใยแก้วเสริมแรงในปริมาณร้อยละ 1 ถึง 5 โดยน้ำหนัก พบร่วมสามารถปรับปรุงสมบัติทางกลของพอลิเมทิลเมทาคริเลทชนิดผิด โดยสามารถเพิ่มความแข็งแรงด้วยร้อยละ 35 และเพิ่มความทนทานต่อแรงกระแทกได้ร้อยละ 36 แต่การใช้ไข่แก้วกลับไม่เพิ่มสมบัติเชิงกลแก่พอลิเมทิลเมทาคริเลಥอนิดเด้อด

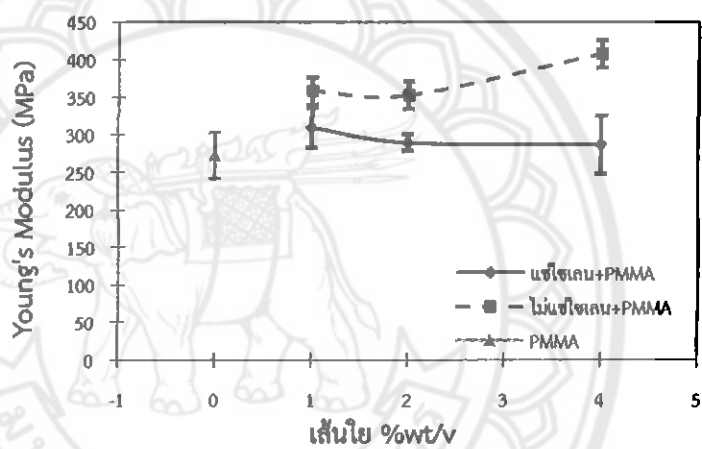
การเสริมแรงฐานฟื้นเทียนด้วยเส้นใยส่งผลต่อความสามารถในการรับแรงที่กระทำต่อชิ้นทดสอบ โดยเส้นใยจะทำให้เกิดการกระจายแรงที่มากกว่าทำต่อฟื้นที่ที่รับแรง ดังนั้นปริมาณและรูปแบบของเส้นใยจะส่งผลต่อการจัดเรียงตัวที่เหมาะสมของเส้นใยในชิ้นทดสอบจะช่วยเรื่องการกระจายแรงภายในชิ้นทดสอบได้จากผลการทดสอบข้างต้น รูปแบบของเส้นใยที่มีค่าการทวนต่อแรงดึงด้วยที่มากที่สุด คือ รูปแบบตัดสั้นปริมาณ 4 %wt/v เกิดจากการเรียงตัวของเส้นใยเป็นแบบกระจายหัวหัวชิ้นทดสอบและด้วยปริมาณเส้นใยที่สูงการกระจายตัวที่ดีส่งผลให้สามารถรับแรงได้มากในทางตรงกันข้ามรูปแบบของเส้นใยแบบยาวของเส้นและแบบทิชชูที่ปริมาณเส้นใย 1 %wt/v มีค่าการทวนต่อแรงดึงด้วยที่มากกว่าปริมาณที่สูง ซึ่งเกิดจากการเรียงตัวของเส้นใยที่เป็นแบบแรกกลางชิ้นทดสอบ เมื่อเส้นใยมีปริมาณที่มากจึงส่งผลให้ชิ้นทดสอบมีช่องว่างภายในมากกว่ารูปแบบตัดสั้นทำให้ไม่สามารถทวนต่อแรงดึงด้วยได้ค เนื่องจากการทดสอบการทวนต่อแรงดึงด้วยมีการใช้แรงกดตรงกลางชิ้นทดสอบเพื่อบอกสภาพความยืดหยุ่นของชิ้นทดสอบ ในขณะที่ผลการทดสอบการทวนต่อแรงกระแทกการเสริมแรงด้วยเส้นใยมีผลช่วยเพิ่มค่าการทวนต่อแรงกระแทกโดยที่ทุกรูปแบบและทุกปริมาณของเส้นใยมีค่าที่ใกล้เคียงกัน เนื่องจากการทดสอบแรงกระแทกเป็นการให้แรงกระทำในแนวตั้งของชิ้นทดสอบ ซึ่งการจัดเรียงของเส้นใยตั้งฉากกับแนวแรง ส่วนที่รับแรงจึงขึ้นอยู่กับความหนา นอกจ้านี้ยังมีการให้แรงกระทำแบบหันทีหันใด เพื่อให้ชิ้นทดสอบแตกอย่างรวดเร็ว ส่งผลให้รูปแบบและปริมาณของเส้นใยไม่แสดงค่าการทวนต่อแรงกระแทกที่ต่างกัน จากผลการทดสอบการทวนต่อแรงอัดการเสริมแรงด้วยเส้นใยไม่เพิ่มค่าการทวนต่อแรงอัดในทุกรูปแบบของเส้นใยและทุกปริมาณ เนื่องจากการทดสอบแรงอัดเป็นการให้แรงกระทำเต็มพื้นที่รับแรงด้วยแรงเท่าๆ กัน ส่งผล

ให้เครื่องทดสอบอ่านค่าการทดสอบที่เกิดการแตกเพียงพื้นผิวต้านที่รับแรงโดยตรงเนื่องจากการเสริมแรงด้วยเส้นใย เส้นใยจะถูกแทรกอยู่ภายในชั้นทดสอบทำให้แรงที่กระทำส่งผ่านยังไม่ถึงเส้นใย ที่เสริมแรงอยู่ภายในชั้นทดสอบ ดังนั้นค่าที่วัดได้จึงมีค่าที่ใกล้เคียงกันและการเสริมแรงไม่มีผลต่อค่า การทนต่อแรงอัดของการเสริมแรง

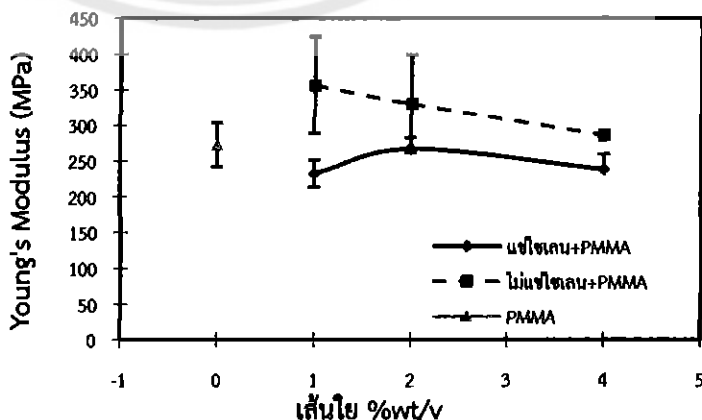
4.2.2 ผลการทดสอบฐานพื้นเทียมเสริมแรงด้วยเส้นใยแก้วที่แข็งและไม่แข็ง

4.2.2.1 ผลการทดสอบสมบัติการทนต่อแรงดัดโค้ง

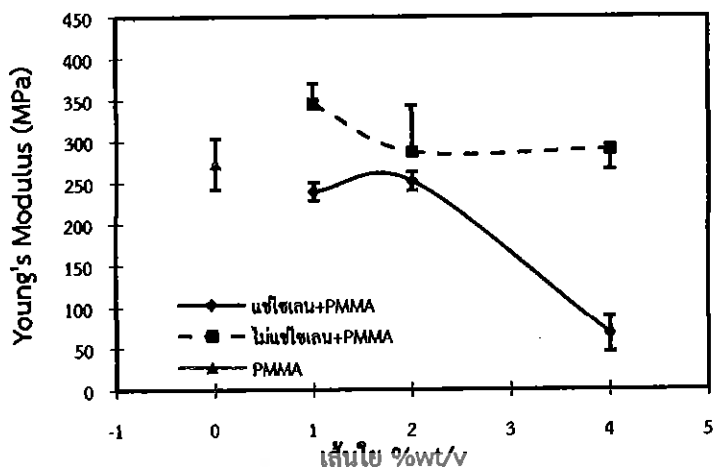
ผลการทดสอบสมบัติการทนต่อแรงดัดโค้งของชั้นทดสอบแต่ละชนิด ชนิดละ 5 ตัวอย่าง ทำการทดสอบตามมาตรฐาน ASTM D790 ให้ผลการทดสอบแสดงดัง ตารางที่ ๔.๑ (ภาคผนวก ก)



รูปที่ 4.5 กราฟแสดงผลของปริมาณเส้นใยรูปแบบตัดสั้นที่แข็งและไม่แข็ง ต่อสมบัติการทนต่อแรงดัดโค้ง



รูปที่ 4.6 กราฟแสดงผลของปริมาณเส้นใยรูปแบบยาวนานที่แข็งและไม่แข็ง ต่อสมบัติการทนต่อแรงดัดโค้ง



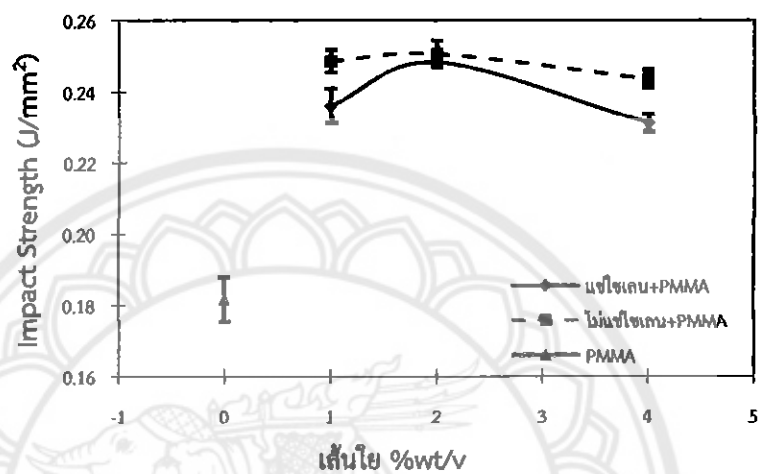
รูปที่ 4.7 กราฟแสดงผลของปริมาณเส้นใยรูปแบบที่ชูที่แข็งเเละไม่แข็งเเละต่อสมบัติการทวนต่อแรงดันໂคัง

จากรูปที่ 4.5, 4.6 และ 4.7 กราฟแสดงผลการทดสอบสมบัติการทนต่อแรงดึงดัก โถงของพอลิเมทธาคริเลตที่เสริมแรงด้วยเส้นใยแก้ว 3 รูปแบบ คือ ตัดสั้น ยาวนาน และ ทิชชูในปริมาณ 0, 1, 2 และ 4 %wt/v โดยเปรียบเทียบเส้นใยแก้วที่แข็งเเรนที่ปริมาณ 2 %v/wt และเส้นใยที่ไม่แข็งเเรน

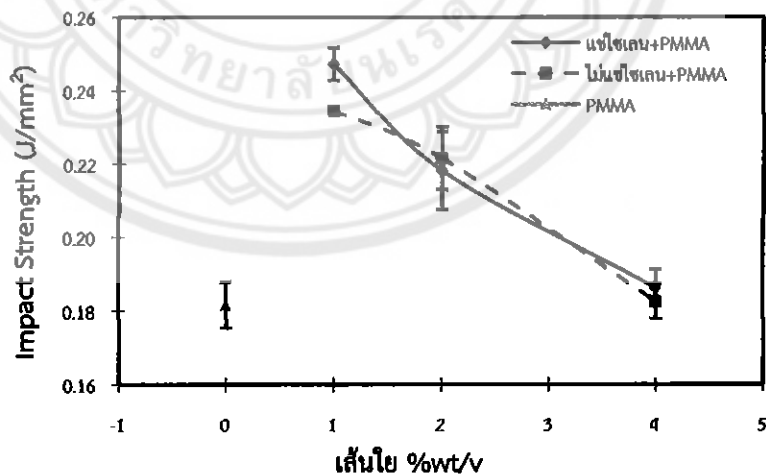
เนื่องจากการทบทวนต่อแรงด้วยโค้งที่แสดงในค่า Young's Modulus of Bending เป็นค่าที่แสดงถึงความยืดหยุ่นของชิ้นทดสอบ พนวจพอลิเมทิลเมทาคริเลตที่เสริมแรงด้วยเส้นใยแก้วทั้ง 3 รูปแบบที่แข็งเส้นโดยด้วยไข gele มีค่าการทบทวนต่อแรงด้วยโค้งที่ต่ำกว่าไม่แข็งไข gele ในทุกรูปแบบและปริมาณของเส้นใย จากกราฟการทดสอบรูปแบบของเส้นโดยรูปแบบตัดสันที่ไม่แข็งไข gele ปริมาณ 4 %wt/v มีค่าเฉลี่ยการทบทวนต่อแรงด้วยโค้งมากที่สุด ในขณะที่เส้นโดยรูปแบบยาวงบนานและทิชชูที่ไม่แข็งไข gele มีค่าเฉลี่ยการทบทวนต่อแรงด้วยโค้งสูงที่ปริมาณ 1 %wt/v ซึ่งมีค่าเฉลี่ยการทบทวนต่อแรงด้วยโค้งที่สูงกว่าเส้นโดยที่แข็งไข gele จากสมมติฐานเบื้องต้นของทฤษฎีการเข้ากันได้ของพอลิเมอร์เสริมแรงที่ว่าการแข็งเส้นโดยด้วยไข gele จะช่วยเพิ่มความสามารถในการประสานระหว่างเส้นโดยและพอลิเมทิลเมทาคริเลตสามารถประสานกันได้ดีขึ้นส่งผลให้ค่าการทบทวนต่อการดัดโค้งเพิ่มขึ้น แต่จากการทดสอบกลับมีค่าที่ต่ำลงเนื่องจากไข gele ที่ใช้มีปริมาณที่น้อยเกินไป เพราะไม่มีการศึกษาสัดส่วนที่เหมาะสมโดยการปรับเปลี่ยนปริมาณของไข gele จากรูปแบบเส้นโดยแบบยาวงบนานและทิชชู การแข็งไข gele ของเส้นโดยส่งผลให้ค่าการทบทวนต่อการดัดโค้งต่ำกว่าที่พอลิเมทิลเมทาคริเลตที่ไม่เสริมแรงเนื่องจากเส้นโดยหักงอรูปแบบหลังจากการแข็งไข gele เกิดการเกะกะกลุ่มกันมากขึ้นทำให้มีอน้ำใบขี้นรูปกับชิ้นทดสอบโดยน้ำใบแรกกล่างระหว่างพอลิเมทิลเมทาคริเลตเกิดซ่องว่างระหว่างชิ้นทดสอบส่งผลให้ค่าการทบทวนต่อแรงดัดโค้งต่ำกว่าพอลิเมทิลเมทาคริเลตที่ไม่เสริมแรง

4.2.2.2 ผลการทดสอบสมบัติการทนต่อแรงกระแทก

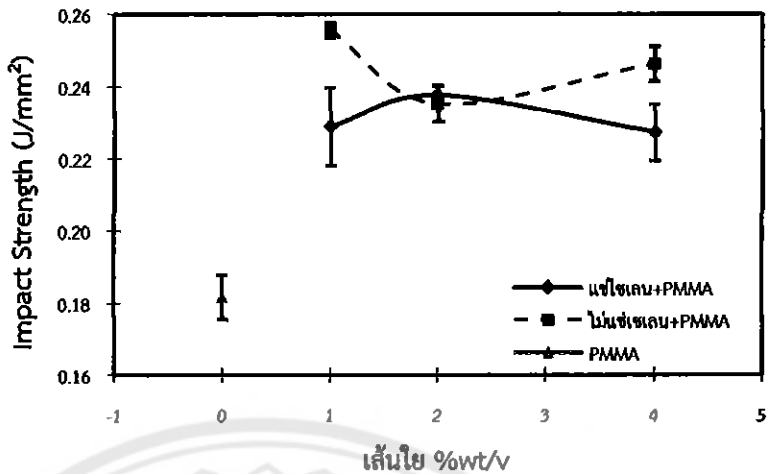
ผลการทดสอบสมบัติการทนต่อแรงกระแทกของชิ้นงานทดสอบแต่ละชนิด ชนิดละ 5 ตัวอย่าง ทำการทดสอบตามมาตรฐาน ASTM D256 ให้ผลการทดสอบแสดงดังตารางที่ ก.2 (ภาคผนวก ก)



รูปที่ 4.8 กราฟแสดงผลของปริมาณเส้นใยรูปแบบตัดสันที่ใช้เลนและไม่ใช้เลน ต่อสมบัติการทนต่อแรงกระแทก



รูปที่ 4.9 กราฟแสดงผลของปริมาณเส้นใยรูปแบบยาวนานที่ใช้เลนและไม่ใช้เลน ต่อสมบัติการทนต่อแรงกระแทก



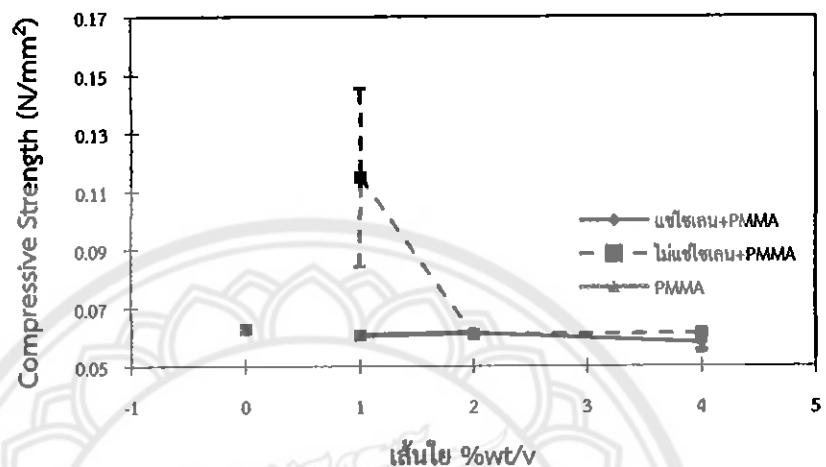
รูปที่ 4.10 กราฟแสดงผลของปริมาณเส้นใยรูปแบบทิชชูที่แข็งไชเลนและไม่แข็งไชเลน ต่อสมบัติการทนต่อแรงกระแทก

จากรูปที่ 4.8, 4.9 และ 4.10 กราฟแสดงผลการทดสอบสมบัติการทนต่อแรงกระแทกของพอลิเมทธิลเมทาคริเลตเสริมแรงด้วยเส้นใยแก้ว 3 รูปแบบ คือ ตัดสัน ยาวาวงขนาดและทิชชู ในปริมาณ 0, 1, 2 และ 4 %wt/v โดยเส้นใยที่แข็งไชเลนที่ปริมาณ 2 %v/wt และเส้นใยที่ไม่แข็งไชเลน

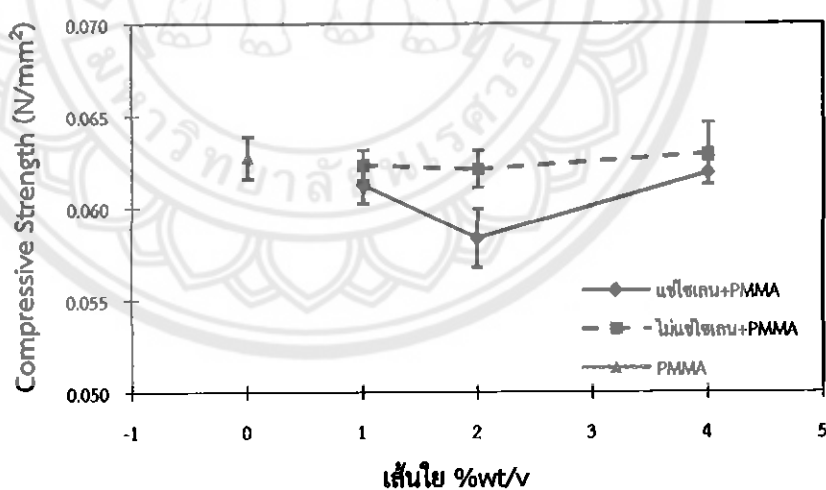
เนื่องจากการทนต่อแรงกระแทกของชั้นทดสอบพอลิเมทธิลเมทาคริเลตเสริมแรงด้วยเส้นใยแก้ว 3 รูปแบบ มีค่าเฉลี่ยการทนต่อแรงกระแทกที่เพิ่มขึ้นเมื่อเทียบกับพอลิเมทธิลเมทาคริเลตไม่เสริมแรง แต่ที่พอลิเมทธิลเมทาคริเลตเสริมแรงด้วยเส้นใยแก้วรูปแบบยาวาวงขนาดที่ปริมาณเส้นใย 4 %wt/v มีค่าใกล้เคียงกับพอลิเมทธิลเมทาคริเลตไม่เสริมแรง จากผลการทดสอบการทนต่อแรงกระแทกของพอลิเมทธิลเมทาคริเลตเสริมแรงด้วยเส้นใยแก้วที่แข็งไชเลนและไม่แข็งไชเลนมีค่าเฉลี่ยของการทนต่อแรงกระแทกสูงที่ปริมาณเส้นใย 1 %wt/v มีแนวโน้มค่าเฉลี่ยการทนต่อแรงกระแทกที่ต่ำลงเมื่อปริมาณเส้นใยที่เพิ่มขึ้น จากกราฟพบว่าทุกรูปแบบและปริมาณของเส้นใยมีค่าเฉลี่ยการทนต่อแรงกระแทกที่ใกล้เคียงกัน ส่งผลให้การซ่อมเส้นใยแข็งไชเลนไม่มีผลต่อการทนต่อแรงกระแทก เมื่อเปรียบเทียบระหว่างพอลิเมทธิลเมทาคริเลตเสริมแรงด้วยเส้นใยแก้วที่แข็งไชเลนและไม่แข็งไชเลน

4.2.2.3 ผลการทดสอบสมบัติการทนต่อแรงอัด

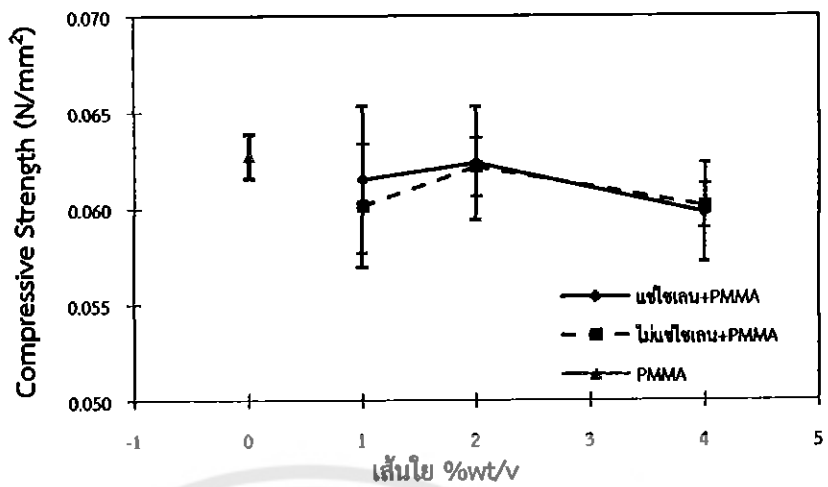
ผลการทดสอบสมบัติการทนต่อแรงอัดของชิ้นงานทดสอบแต่ละชนิด ชนิดละ 5 ตัวอย่าง ทำการทดสอบตามมาตรฐาน ASTM D695 ให้ผลการทดสอบแสดงดังตารางที่ ก.3 (ภาคผนวก ก)



รูปที่ 4.11 กราฟแสดงผลของปริมาณเส้นใยรูปแบบตัดสั้นที่แข็งใช้เลนและไม่แข็งใช้เลน ต่อสมบัติการทนต่ออัด



รูปที่ 4.12 กราฟแสดงผลของปริมาณเส้นใยรูปแบบยาวนานที่แข็งใช้เลนและไม่แข็งใช้เลน ต่อสมบัติการทนต่ออัด



รูปที่ 4.13 กราฟแสดงผลของปริมาณเส้นใยรูปแบบทิชชูที่แข็งเเรนและไม่แข็งเเรน ต่อสมบัติการทนต่ออัด

จากรูปที่ 4.11, 4.12 และ 4.13 กราฟแสดงผลการทดสอบสมบัติการทนต่อแรงอัดของพอลิเมทธิลเมทาคริเลตเสริมแรงด้วยเส้นใยแก้ว 3 รูปแบบ คือ ตัดสั้น ยาววางขนาด และทิชชูในปริมาณเส้นใย 0, 1, 2 และ 4 %wt/v โดยเส้นใยแข็งเเรนที่ปริมาณ 2 %v/wt และเส้นใยไม่แข็งเเรน

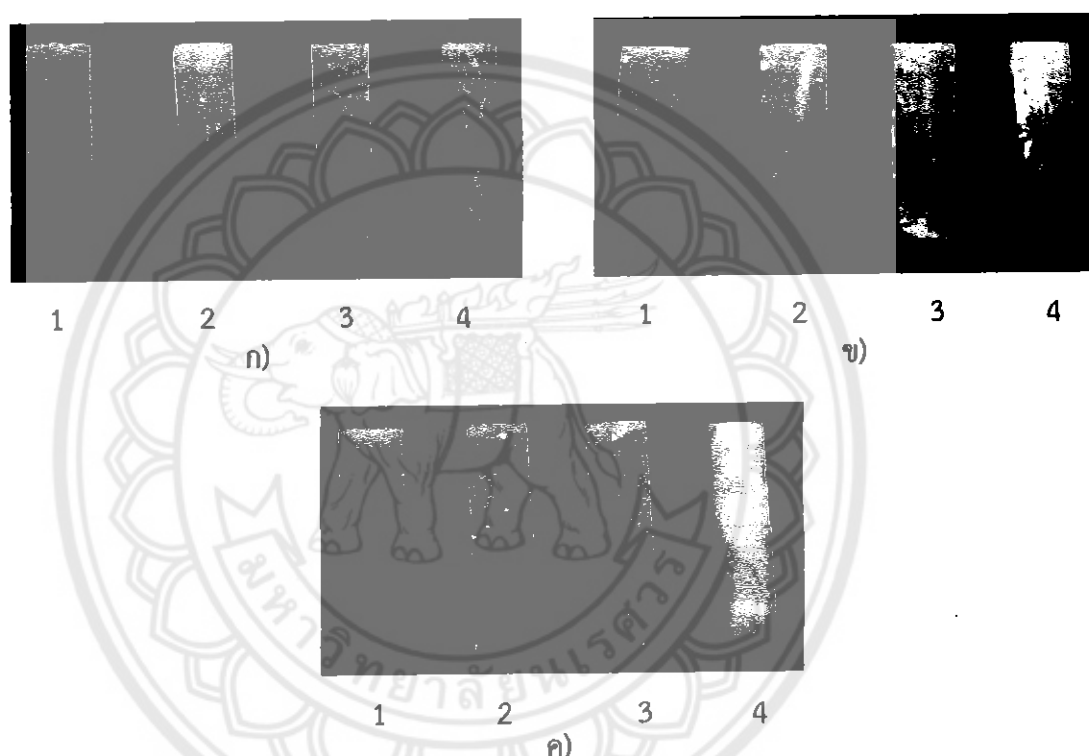
เนื่องจากทดสอบการทนต่อแรงอัดของชิ้นทดสอบพอลิเมทธิลเมทาคริเลตเสริมแรงด้วยเส้นใยแก้วทุกรูปแบบและทุกปริมาณเส้นใยไม่มีผลต่อการทนต่อแรงอัดเนื่องจากเปรียบเทียบกับไม่เสริมแรง เช่นเดียวกับการศึกษาผลการแข็งเเรนโดยใช้เเลนมีค่าเฉลี่ยการทนต่อแรงอัดที่ใกล้เคียงกับไม่แข็งเเรน

4.3 ผลการตรวจสอบการเรียงตัวของเส้นใย

4.3.1 การเรียงตัวของเส้นใยแก้ว 3 รูปแบบ

4.3.1.1 การเรียงตัวของเส้นใยแก้วจากผิวชั้นงานทดสอบ

การศึกษาเปรียบเทียบลักษณะทางกายภาพภายนอกที่ผิวชั้นพอลิเมทธิลิเมทัคริเลตเสริมแรงด้วยเส้นใยแก้วทั้ง 3 รูปแบบ โดยมีปริมาณเส้นใย คือ ไม่เสริมแรง (1) เส้นใย 1 %wt/v (2) เส้นใย 2 %wt/v (3) และเส้นใย 4 %wt/v (4) ลักษณะทางกายภาพภายนอกแสดงดัง รูปที่ 4.14



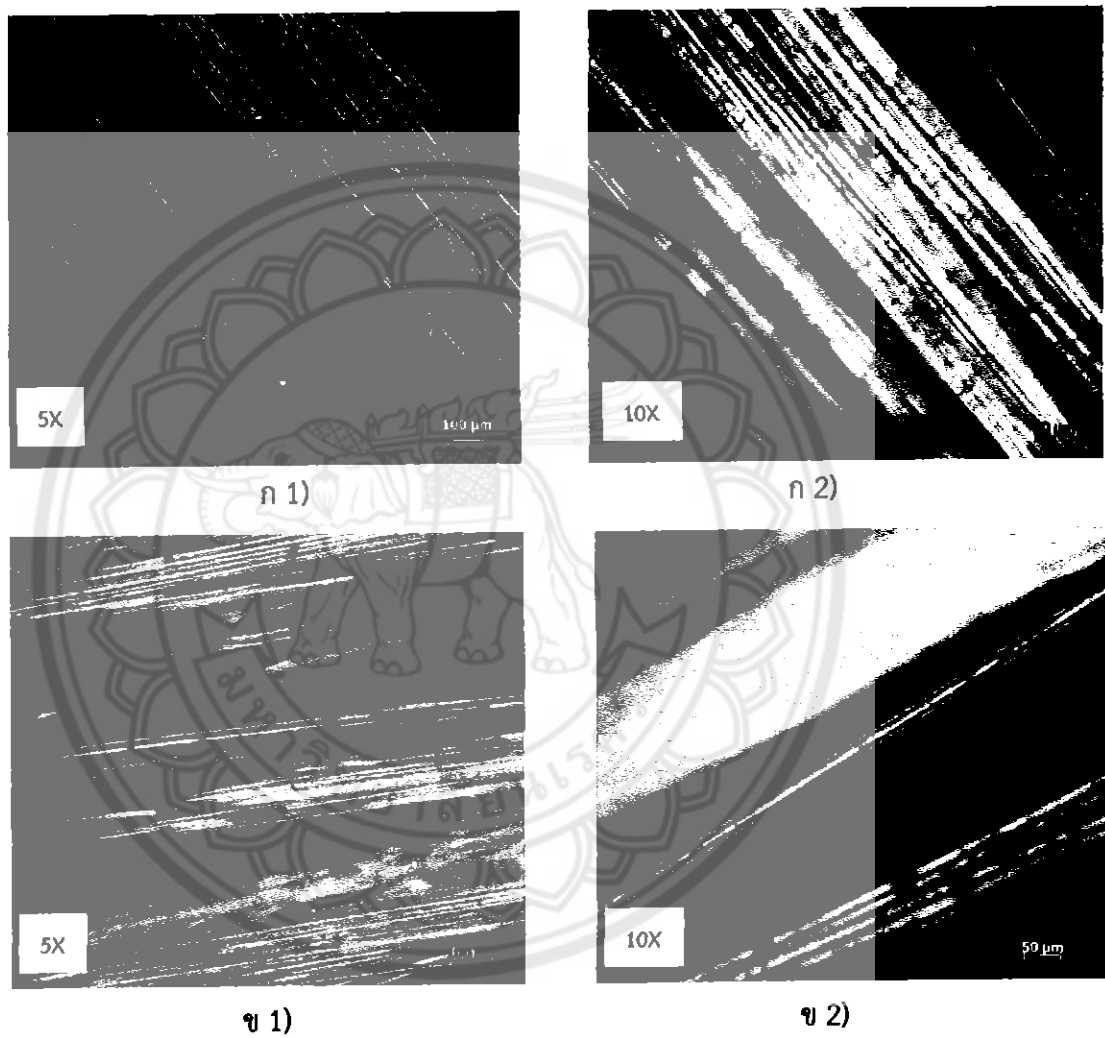
รูปที่ 4.14 จันงานทดสอบเสริมแรงด้วยเส้นใยแก้ว ก) เสริมแรงด้วยเส้นใยแก้วแบบตัดสัน ข) เสริมแรงด้วยเส้นใยแก้วแบบยาววางขนาน ค) เสริมแรงด้วยเส้นใยแก้วแบบทิชชู

จากรูปที่ 4.14 ศึกษาการกระจายตัวของเส้นใยแก้วในพอลิเมทธิลิเมทัคริเลตทั้ง 3 รูปแบบ มีลักษณะการกระจายตัวของเส้นใยแก้วที่บริเวณผิวชั้นทดสอบ พบร่วมกับการเสริมแรงด้วยเส้นใยแก้วที่มีปริมาณมากขึ้นจะมีการทึบแสงและมีจำนวนเส้นใยที่ชั้นทดสอบซัดเจนขึ้น โดยการเรียงตัวและการกระจายตัวของเส้นใยแก้วมีความแตกต่างกันตามรูปแบบของเส้นใย ดังนี้ การเสริมแรงด้วยเส้นใยแก้วแบบตัดสันลักษณะการกระจายตัวของเส้นใยแก้วทั้งชั้นทดสอบ แสดงดังรูปที่ ก) ในขณะที่การเสริมแรงด้วยเส้นใยแก้วแบบยาววางขนานมีลักษณะการกระจายตัวของเส้นใยแก้วกึ่งกลางชั้นทดสอบ แสดงดังรูปที่ ข) และการเสริมแรงด้วยเส้นใยแก้วแบบทิชชูมีลักษณะการ

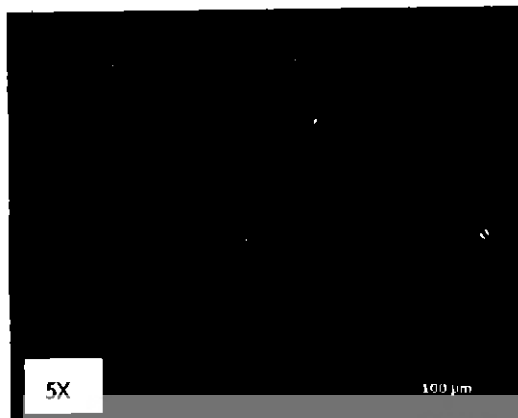
กระจายตัวของเส้นใยแก้วกีฟ์กลางชั้นทดสอบโดยเส้นใยแก้วมีขนาดความยาวและความกว้างเท่ากับชั้นทดสอบ แสดงดังรูปที่ ค)

4.3.1.2 การเรียงตัวของเส้นใยแก้วภายในชั้นงานทดสอบด้วยกล้องจุลทรรศน์

การศึกษาเปรียบเทียบลักษณะทางกายภาพจากรูปถ่ายกล้องจุลทรรศน์ของเส้นใยแก้วทั้ง 3 รูปแบบ ที่กำลังขยาย 50 เท่า และ 100 เท่าแสดงดังรูปที่ 4.15



รูปที่ 4.15 เปรียบเทียบลักษณะทางกายภาพจากรูปถ่ายกล้องจุลทรรศน์ของเส้นใยแก้ว
ก) เส้นใยแก้วรูปแบบตัดสัน ข) เส้นใยแก้วรูปแบบยาววางขนาน
ค) เส้นใยแก้วรูปแบบทิชชู



ค 1)



ค 2)

รูปที่ 4.15 (ต่อ) เปรียบเทียบลักษณะทางกายภาพจากรูปถ่ายกล้องจุลทรรศน์ของเส้นใยแก้ว ก) เส้นใยแก้วรูปแบบตัดสันน ข) เส้นใยแก้วรูปแบบยาววางขนาด ค) เส้นใยแก้วรูปแบบทิชชู

จากรูปที่ 4.15 ศึกษาการเรียงตัวของเส้นใยแก้วทั้ง 3 รูปแบบ จากร่อง จุลทรรศน์กำลังขยาย 50 เท่า และ 100 เท่า ก่อนนำไปเสริมแรงในพอลิเมทิลเมทาคริเลต พบว่า การเรียงตัวของเส้นใยแก้วรูปแบบตัดสันนและยาววางขนาด มีการเรียงตัวในทิศทางเดียวกันแต่มีความยาวที่ต่างกัน โดยเส้นใยแก้วรูปแบบตัดสันนมีความยาวประมาณ 6 มิลลิเมตร และเส้นใยแก้วรูปแบบยาววางขนาดมีความยาวประมาณ 60 มิลลิเมตร ตามขนาดความยาวชิ้นทดสอบ ในทางกลับกันการเรียงตัวของเส้นใยแก้วรูปแบบทิชชุมีการเรียงตัวในทิศทางที่ไม่แน่นอนและสานกันเป็นแผ่น

4.3.2 การเรียงตัวของเส้นใยแก้วทั้ง 3 รูปแบบ ภายใต้ชิ้นทดสอบ

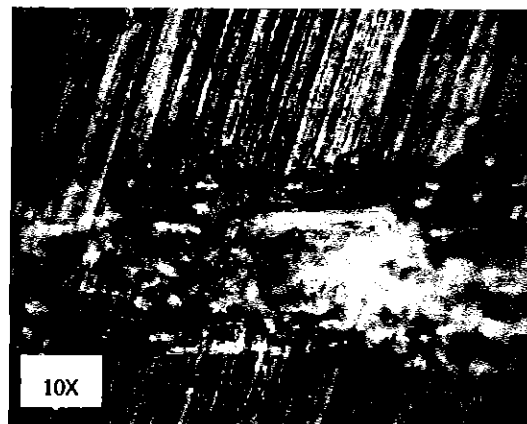
การศึกษาลักษณะทางกายภาพจากรูปถ่ายกล้องจุลทรรศน์ของเส้นใยแก้วทั้ง 3 รูปแบบ บริเวณรอยแตกของชิ้นทดสอบหลังจากการทดสอบการทานต่อแรงกระแทกที่กำลังขยาย 100 เท่า แสดงดังรูปที่ 4.16



ก)



ข)



(ก)

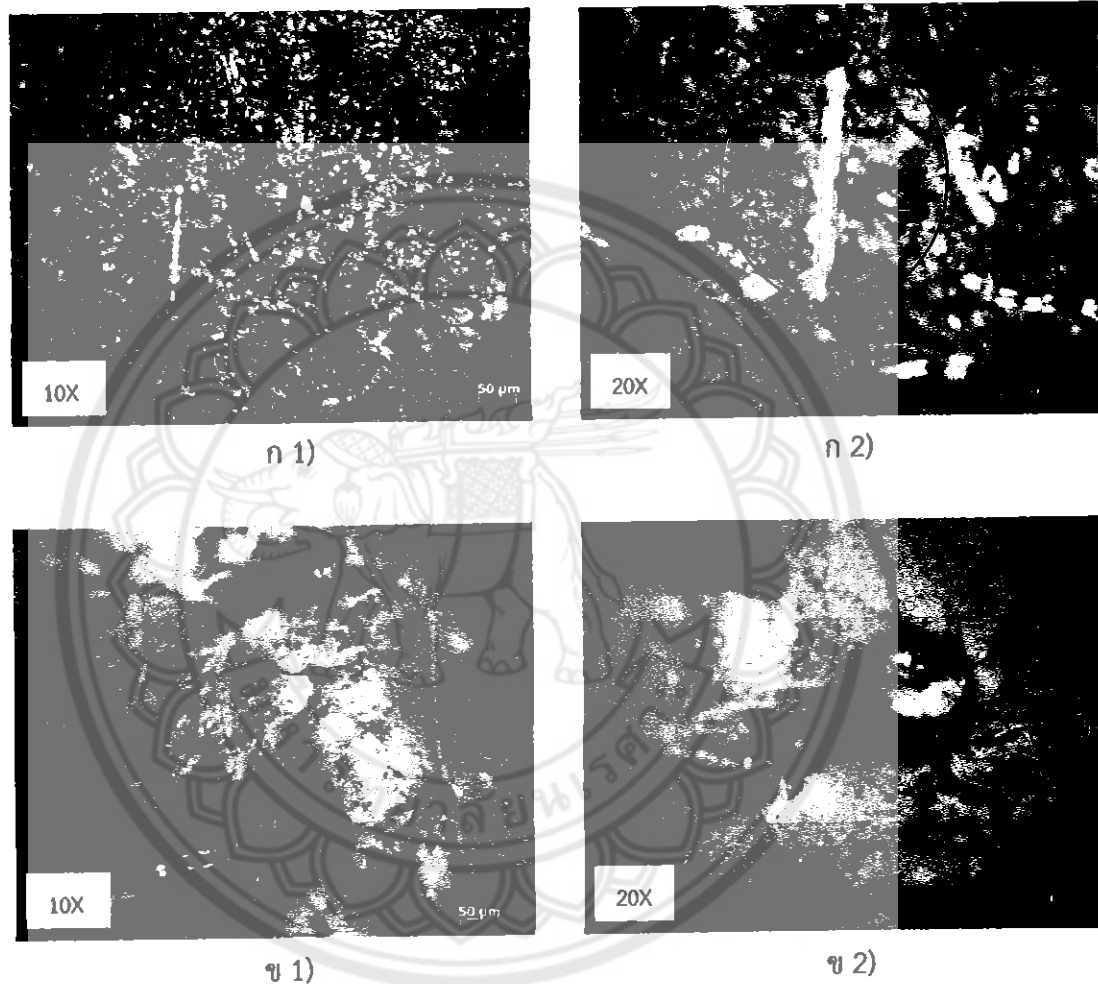
รูปที่ 4.16 การเรียงตัวของเส้นใยแก้วทั้งภายในชิ้นทดสอบ ก) เส้นใยแก้วรูปแบบตัดสัน
ข) เส้นใยแก้วรูปแบบยาววางขนาน ค) เส้นใยแก้วรูปแบบทิชชู

จากรูปที่ 4.16 ศึกษาการเรียงตัวของเส้นใยแก้วทั้ง 3 รูปแบบ จากกล้องจุลทรรศน์ กำลังขยาย 100 เท่า ภายในชิ้นทดสอบหลังนำไปเสริมแรงในพอลิเมทธิลเมทาคริเลต พบว่าการเรียงตัวและการกระจายตัวของเส้นใยแก้วรูปแบบตัดสันมีทิศทางที่ไม่แน่นอนทั่วทั้งชิ้นทดสอบ ส่วนเส้นใยแก้วรูปแบบทิชชูมีการเรียงตัวแบบทิศทางที่ไม่แน่นอน แต่การกระจายตัวภายในชิ้นทดสอบแบบเกาส์กลุ่มกันแทรกอยู่บริเวณกึ่งกลาง ซึ่งมีความยาวและความกว้างเท่าขนาดชิ้นทดสอบ จากรูปเห็นความหนาของเส้นใยเนื่องจากเป็นชิ้นทดสอบหลังจากการทดสอบแรงกระแทก ในทางกลับกันการเรียงตัวของเส้นใยแก้วรูปแบบยาววางขนานมีการเรียงตัวในทิศทางเดียวกันและการกระจายตัวภายในชิ้นทดสอบแบบเกาส์กลุ่มกันแทรกอยู่บริเวณกึ่งกลาง

ผลการศึกษาการเรียงตัวของเส้นใยแก้วทั้ง 3 รูปแบบ ภายในชิ้นทดสอบมีผลสอดคล้องกับสรุปผลการทดสอบสมบัติการทนต่อแรงกระแทกที่ว่าเมื่อพอลิเมทธิลเมทาคริเลตเสริมแรงด้วยเส้นใยแก้วทั้ง 3 ชนิด พบร่วมที่ 4 %wt/v ของการเสริมแรงด้วยเส้นใยแบบยาววางขนานมีค่าความต้านทานแรงต่อกระแทกที่ต่ำที่สุดเมื่อเทียบกับร้อยละเส้นใยอื่นๆ ซึ่งใกล้เคียงกับค่าความต้านทานต่อแรงกระแทกพอลิเมทธิลเมทาคริเลตที่ไม่เสริมแรง และพบร่วมที่ 4 %wt/v ของการเสริมแรงด้วยเส้นใยแบบทิชชู มีค่าความต้านทานแรงต่อกระแทกที่สูงที่สุดเมื่อเทียบกับร้อยละเส้นใยอื่นๆ

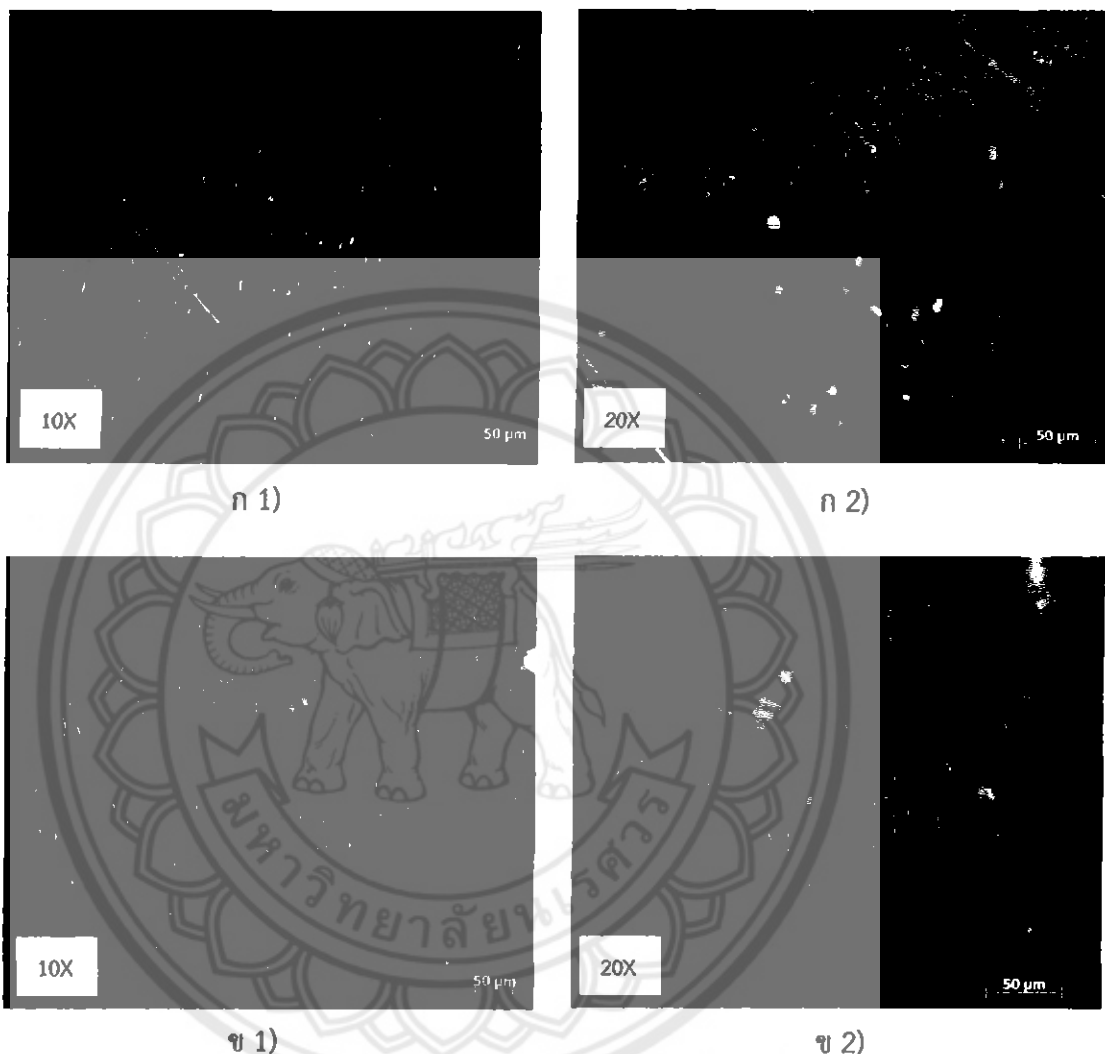
4.3.3 การศึกษาการยึดเกาะของเส้นใยแก้วทั้ง 3 รูปแบบ ที่ใช้เลนและไม่ใช้เลนกับพอลิเมทิลเมทาคริเลต

การศึกษาลักษณะทางกายภาพจากรูปถ่ายกล้องจุลทรรศน์ของเส้นใยแก้วรูปแบบตัดสันนบริเวณรอยแตกของชิ้นทดสอบ หลังจากการทดสอบการทานต่อแรงกระแทกที่กำลังขยาย 100 เท่า และ 200 เท่า แสดงดังรูปที่ 4.17



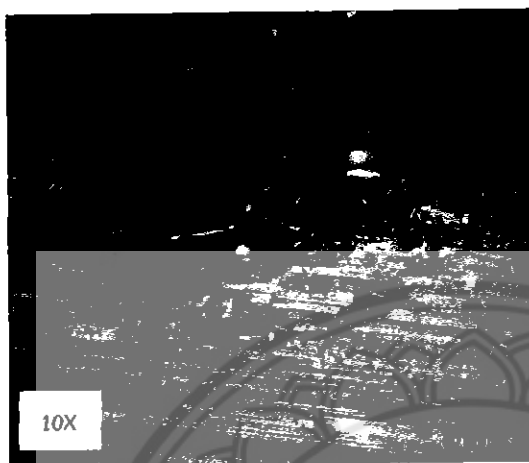
รูปที่ 4.17 การศึกษาการยึดเกาะของเส้นใยแก้วรูปแบบตัดสันนกับพอลิเมทิลเมทาคริเลต
ก) เส้นใยแก้วรูปแบบตัดสันนใช้เลน ข) เส้นใยแก้วรูปแบบตัดสันนไม่ใช้เลน

การศึกษาลักษณะทางกายภาพจากรูปถ่ายกล้องจุลทรรศน์ของเส้นใยแก้วรูปแบบยาว วางแผนบริเวณรอยแตกของชิ้นทดสอบ หลังจากการทดสอบการทนต่อแรงกระแทกที่กำลังขยาย 100 เท่า และ 200 เท่า แสดงดังรูปที่ 4.18

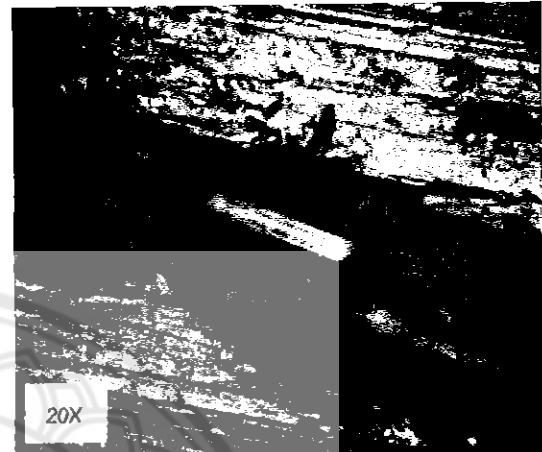


รูปที่ 4.18 การศึกษาการยืดเคี้ยวของเส้นใยแก้วรูปแบบยาววางแผนขนาดกับพอลิเมธิลเมทาคริเลต
ก) เส้นใยแก้วรูปแบบยาววางแผนแข็งใช้เล่น ข) เส้นใยแก้วรูปแบบยาววางแผนไม่แข็งใช้เล่น

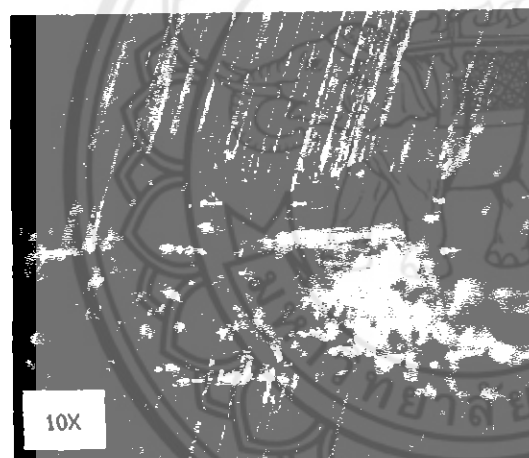
การศึกษาลักษณะทางกายภาพจากรูปถ่ายกล้องจุลทรรศน์ของเส้นใยแก้วรูปแบบยาว วางแผนบริเวณรอยแตกของชิ้นทดสอบ หลังจากการทดสอบการทนต่อแรงกระแทกที่กำลังขยาย 100 เท่า และ 200 เท่า แสดงดังรูปที่ 4.19



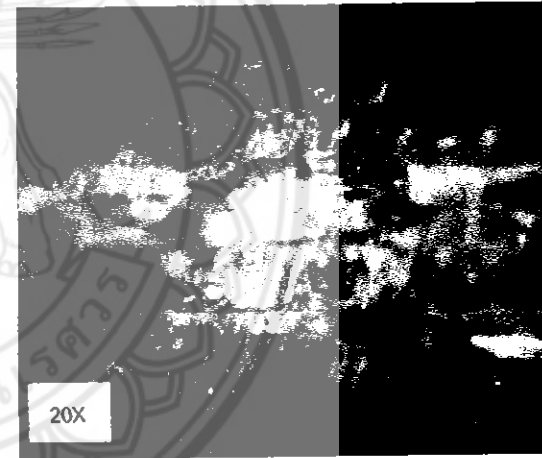
ก 1)



ก 2)



ข 1)



ข 2)

รูปที่ 4.19 การศึกษาการยืดเคี้ยวของเส้นใยแก้วรูปแบบทิชชูกับพอลิเมทธิลเคน
ก) เส้นใยแก้วรูปแบบทิชชูแข็งใช้เล่น ข) เส้นใยแก้วรูปแบบทิชชูไม่แข็งใช้เล่น

จากรูปที่ 4.17, 4.18 และ 4.19 ศึกษาการเปรียบเทียบการยืดเคาะบริเวณรอยต่อของเส้นไข้แก้วทั้ง 3 รูปแบบ ที่แซ่ใช้เล่นและไม่แซ่ใช้เล่นกับพอลิเมทิลเมทาคริเลต จากกล้องจุลทรรศน์ กำลังขยาย 100 เท่า และ 200 เท่า พบร้าเส้นไข้แก้วรูปแบบตัดสันที่บริเวณรอยต่อระหว่างเส้นไข้แก้วกับพอลิเมทิลเมทาคริเลตมีการยืดเคาะที่ไม่แตกต่างกันระหว่างพื้นผิวของเส้นไข้ที่แซ่ใช้เล่นและไม่แซ่ใช้เล่น ในขณะที่เส้นไข้แก้วรูปแบบยาวนานและทิชชูที่ไม่แซ่ใช้เล่นบริเวณรอยต่อระหว่างเส้นไข้แก้วกับพอลิเมทิลเมทาคริเลตเกิดการรวมตัวของเส้นไข้และยืดเคาะกับพอลิเมทิลเมทาคริเลตได้ดีกว่าเส้นไข้ที่แซ่ใช้เล่น จากรูปถ่ายทางกล้องจุลทรรศน์ของเส้นไข้รูปแบบยาวนานและทิชชูที่แซ่ใช้เล่น พบร้าที่บริเวณรอยแตกของชิ้นทดสอบหลังจากการทดสอบการทานต่อแรงกระแทกมีช่องว่างระหว่างเส้นไข้แก้วกับพอลิเมทิลเมทาคริเลตที่กว้างกว่าที่เสริมแรงด้วยเส้นไข้แก้วที่ไม่แซ่ใช้เล่นสอดคล้องกับสรุปผลการเปรียบเทียบการทดลองการเสริมแรงด้วยเส้นไข้แก้วที่แซ่ใช้เล่นและไม่แซ่ใช้เล่น ซึ่งผลการแซ่ใช้เล่นของเส้นไข้แก้วมีผลให้สมบัติเชิงกลลดลง



บทที่ 5

บทสรุปและข้อเสนอแนะ

5.1 สรุปผลการทดลอง

5.1.1 ศึกษาผลของการขึ้นรูปของชิ้นทดสอบเมื่อปรับเปลี่ยนชนิดและสัดส่วนของวัสดุพอลิเมทธาคริเลตคอมโพสิตเสริมแรงด้วยชนิดเส้นใยแก้ว 3 รูปแบบ คือ เส้นไนแก้วแบบตัดสันเส้นใยแก้วแบบพิชชู และเส้นใยแก้วแบบยาวาวางขนาด การใช้เลนและไม่ใช้ใช้เลน

สามารถขึ้นรูปชิ้นทดสอบได้ทุกกลุ่มการทดลอง ณ เวลาและอุณหภูมิที่ใช้ในการขึ้นรูปพอลิเมทธาคริเลตโดยทั่วไป

5.1.2 ศึกษาสมบัติทางกล ได้แก่ การทดสอบแรงกระแทก การทดสอบแรงอัด และการทดสอบแรงตัดได้ ของวัสดุพอลิเมทธาคริเลตคอมโพสิตที่เสริมแรงด้วยเส้นใยแก้วทั้ง 3 รูปแบบ คือ เส้นไนแบบตัดสัน เส้นไนแบบเส้นยาวาวางขนาด และเส้นไนแบบพิชชูบริมาณ 1, 2 และ 4 %wt/v โดยนำเส้นใยแก้วแต่ละกลุ่มไปแข็งในไวนิลไตรเอทธอกซีไซเลนปริมาณ 2 %v/wt โดยมีกุ่มควบคุมการทดลองนี้ คือ วัสดุพอลิเมทธาคริเลตที่ไม่เสริมเส้นใยแก้วและไม่แข็งในไวนิลไตรเอทธอกซีไซเลน

การทดสอบแรงกระแทก พบว่าเมื่อพอลิเมทธาคริเลตเสริมแรงด้วยเส้นใยแก้วทั้ง 3 ชนิด ส่งผลให้ความสามารถในการต้านทานแรงกระแทกสูงกว่าพอลิเมทธาคริเลตที่ไม่เสริมแรงพบว่าที่ 4 %wt/v ของการเสริมแรงด้วยเส้นใยแบบยาวาวางขนาดมีค่าความต้านทานแรงต่อกระแทกที่ต่ำที่สุดเมื่อเทียบกับร้อยละเส้นใยอื่นๆ ซึ่งใกล้เคียงกับค่าความต้านทานต่อแรงกระแทกพอลิเมทธาคริเลตที่ไม่เสริมแรง และพบว่าที่ 4 %wt/v ของการเสริมแรงด้วยเส้นใยแบบพิชชูมีค่าความต้านทานแรงต่อกระแทกที่สูงที่สุดเมื่อเทียบกับร้อยละเส้นใยอื่นๆ

การทดสอบแรงตัดโคง พบร่วมกับความสามารถในการต้านทานแรงตัดโคงสูงกว่าพอลิเมทธาคริเลตที่ไม่เสริมแรง พบว่าที่ 4 %wt/v ของการเสริมแรงด้วยเส้นใยแบบตัดสันมีค่าความต้านทานต่อแรงตัดโคงสูงกว่า 1 และ 2 %wt/v แต่ที่ 4 %wt/v ของการเสริมแรงด้วยเส้นใยแบบยาวาวางขนาดและพิชชูมีค่าความต้านทานต่อแรงตัดโคงต่ำกว่า 1 และ 2 %wt/v

การทดสอบแรงอัด พบร่วมกับความสามารถในการต้านทานแรงอัดเพิ่มขึ้นเมื่อเทียบกับพอลิเมทธาคริเลตที่ไม่เสริมแรงยกเว้นที่ 1 %wt/v ของการเสริมแรงด้วยเส้นใยแบบตัดสันมีค่าความต้านทานต่อแรงอัดสูงกว่าพอลิเมทธาคริเลตที่ไม่เสริมแรง

จากการทดลองแรงกระแทก แรงตัดโคง และแรงอัด พบร่วมกับความสามารถในการต้านทานแรงอัดเพิ่มขึ้นเมื่อเทียบกับพอลิเมทธาคริเลตเสริมแรงด้วยเส้นใยแก้วทั้ง 3 ชนิด โดยเส้นใยที่แข็งใช้เลน 2 %v/wt ไม่มีผลทำให้

ความสามารถในการต้านทานต่อแรงกระแทก แรงตัดโค้ง และแรงอัดเพิ่มขึ้นเมื่อเทียบกับพอลิเมทิลเมทาคริเลตเสริมแรงด้วยเส้นใยแก้วทั้ง 3 ชนิด ที่ไม่แข็งเส้นโดยด้วยไซเลน

สรุปการศึกษาด้านความแข็งแรงของพอลิเมทิลเมทาคริเลตที่ไม่เสริมแรงและเสริมแรงด้วยเส้นใยแก้วปริมาณร้อยละ 1, 2 และ 4 %wt/v โดยการทดสอบความทนทานต่อแรงกระแทก แรงตัดโค้งและแรงอัด พบว่าพอลิเมทิลเมทาคริเลตที่เสริมแรงด้วยเส้นใยแก้วแบบทิชชูที่ 4 %wt/v สามารถเพิ่มความทนทานต่อแรงกระแทกได้ร้อยละ 35 เมื่อเทียบกับพอลิเมทิลเมทาคริเลตที่ไม่เสริมแรงและพอลิเมทิลเมทาคริเลตที่เสริมแรงด้วยเส้นใยแก้วแบบตัดสันที่ 4 %wt/v สามารถรับแรงตัดโค้งได้ดีกว่าพอลิเมทิลเมทาคริเลตที่ไม่เสริมแรงถึงร้อยละ 65 แต่การเสริมแรงด้วยเส้นใยแก้วทุกรูปแบบและทุกสัดส่วนกลับไม่เพิ่มความแข็งแรงต่อการทดสอบความทนทานต่อแรงอัดยกเว้นที่ 1 %wt/v ของการเสริมแรงด้วยเส้นใยแบบตัดสันมีค่าความต้านทานต่อแรงอัดสูงกว่าพอลิเมทิลเมทาคริเลตที่ไม่เสริมแรงและสุดท้ายจากการศึกษาการเปรียบเทียบผลของการนำเส้นใยแก้วไปใช้ในสารไซเลน 2 %v/wt และไม่แข็งไซเลน พบว่าไม่มีผลทำให้ค่าความแข็งแรงเพิ่มขึ้น ซึ่งมีผลลดคล่องกับการศึกษาการยืดเคี้ยวของเส้นใยแก้วทั้ง 3 รูปแบบที่แข็งไซเลนและไม่แข็งไซเลนกับพอลิเมทิลเมทาคริเลตเป็นการศึกษาลักษณะทางกายภาพจากรูปถ่ายกล้องจุลทรรศน์ของเส้นใยแก้วบริเวณรอยแตกของชิ้นทดสอบหลังจากการทดสอบการทานต่อแรงกระแทก พบว่าเส้นใยแก้วที่แข็งไซเลนมีบริเวณรอยแตกของชิ้นทดสอบหลังจากการทดสอบการทานต่อแรงกระแทกมีช่องว่างระหว่างเส้นใยแก้วกับพอลิเมทิลเมทาคริเลตที่กว้างกว่าที่เสริมแรงด้วยเส้นใยแก้วที่ไม่แข็งไซเลน ซึ่งผลแข็งไซเลนของเส้นใยแก้วดังกล่าวมีผลให้สมบัติเชิงกลลดลง

5.2 ข้อเสนอแนะ

เนื่องจากโครงงานนี้มีความพิเศษที่จะพัฒนาและปรับปรุงสมบัติของวัสดุพอลิเมทิลเมทาคริเลตเสริมแรงโดยการเปรียบเทียบผลของการใช้วัสดุเสริมแรงชนิดเส้นใยแก้ว 3 รูปแบบ คือ แบบตัดสัน แบบทิชชู และแบบบาร์บาร์ โดยศึกษาสัดส่วนการใช้งานที่เหมาะสมของวัสดุเสริมแรง วัสดุทั้งหมดจะถูกนำมาเปรียบเทียบระหว่างแข็งไซเลนโดยสารไซเลนเพื่อเพิ่มการยืดติดกับพอลิเมทิลเมทาคริเลตและไม่แข็งไซเลน จากนั้นวัสดุคงไม่หลุดที่จะถูกนำไปศึกษาสมบัติทางกล เนื่องจากโครงงานนี้มีความคาดหวังว่าการแข็งไซเลนจะใช้ทำให้เพิ่มสมบัติทางกลของวัสดุพอลิเมทิลเมทาคริเลตแต่ผลการทดสอบ พบว่าการแข็งไซเลนไม่ช่วยให้สมบัติทางกลเพิ่มขึ้นแต่ส่วนใหญ่กลับทำให้สมบัติ ทางกลลดลง ดังนั้นจึงมีข้อเสนอแนะว่าควรปรับสัดส่วนของไซเลนหรือศึกษาชนิดของไซเลนชนิดอื่นที่เหมาะสมเพื่อเป็นแนวทางการปรับปรุงสมบัติทางกลและสมบัติการใช้งานด้านอื่นๆ ต่อไป

อย่างไรก็ตามโครงงานนี้เป็นการทดสอบเพียงสมบัติทางกล เนื่องจากงานนี้นำไปประยุกต์ใช้ในทางทั่นธรรม ดังนั้นจึงมีควรทดสอบความสามารถในการใช้งานจริง เช่น ความเป็นพิษและความเข้ากันได้ของเนื้อเยื่อเพื่อความปลอดภัยต่อการใช้งานมากยิ่งขึ้น

เอกสารอ้างอิง

- [1] O'Brien WJ. (2002). *Dental materials and their selection* 3rd ed. St.Louis: Mosby.
- [2] Craig RG, Power JM. (2002). Restorative dental materials: prosthetic applications of polymers. 11th ed. St Louis , Missouri ; Mosby. p. 636-58.
- [3] Suzuki, S. (2004). Invitrowear of nano-composite denture teeth. *J Prosthodont*, 13(4), 238-43.
- [4] Beyli M.S. von Fraunhofer J.A. (1981) .An analysis of cause of fracture of acrylic resin denture.*J Prothet Dent*, (46), 238-241.
- [5] Vallittu PK. (1996). A review of fiber-reinforced denture base resins. *J Prosthodont*, (5), 270-76.
- [6] Jagger DC, Harrision A, Jandt KD. (1999). Review the reinforcement of denturel. *J Oral Rahabil*, (26), 185-94.
- [7] Stafford G.D., Bates J.F., Huggett R. (1980). Handley R.W. A review of the properties of some denture base polymers. *J Dent*, 8(4), 292-306.
- [8] Callister WD. (2005). *Fundamentals of materials science and engineering; An integrated approach. Fiber reinforced composites*. 2 th ed. NewJersey : John Wiley & Sons, p.625-65.
- [9] Brown D. (2000). Fibre-reinforced materials. *Dent Update*, (27), 442-448.
- [10] Aydin C, Yilmaz H, Caglar A. (2002). Effect of glass fibre reinforcement on the flexural strength of different denture base resin.*QuintessenceInt*, (33), 457-63.
- [11] John J, Gangadhar SA, Shah I. (2001). Flexural strength of heat- polymerthy methacrylnen denture resin reinforced with glass, aramid, or nylon fibres. *J Prothet Dent*, (86), 424-427.
- [12] Abdul S. Khan, Monisha J. Phillips, K. Elizabeth Tanner, Ferranti S. Wong. (2008). Comparision of the visco-elastic behavior of a pre-impregnated reinforced glass fiber composite with resin-based compesite. *Dental Materials*, (24), 1534-1538.

เอกสารอ้างอิง (ต่อ)

- [13] Karacaer O, Ploat TN, Tezvergil A, LassilaLippo VJ, Vallitu PK. (2003). The effect of length and concentration of glass fiber on the mechanical properties of an injection-and a compression-moldenture base. *J Prosthet Dent*, (90), 385-93.
- [14] Kim SH, David C. Watts. (2004). The effect of reinforcement with woven E-glass fibers on the impact strength of complete denture fabricated with high-impact acrylic resin. *J Prosthet Dent*, (91), 274-280.
- [15] Katja K. Narva, LassilaLippo VJ, Pekka K. Vallittu. (2005). Flexural fatigue of denture base polymer with fiber-reinforced composite reinforcement. *Composites: PartA applied science and manufacturing*, (36), 1275-1281.
- [16] Scott R. Dyer, John A. Sorensen ,LassilaLippo VJ, Pekka K. Vallittu. (2005). Damage mechanics and load failure of fiber-reinforce composite fixed partial dentures. *Dental Materials*, (21), 1104-1110.
- [17] Scott R. Dyer, John A. Sorensen ,LassilaLippo VJ, Pekka K. Vallittu. (2004). Effect of fiber position and orientation on fracture load of fiber-reinforced composite. *Dental Materials*, (20), 974-995.
- [18] Pekka K. Vallittu, Sevelius C. (2000). Resin-bonded glass fiber-reinforced composite fixed partial denture: A clinical study. *J Prosthet Dent*, (84), 413-418.
- [19] Stiesch-Scholz M, Schulz M, Borchers L. (2006). In vitro fracture resistance of four-unit fiber-reinforced composite fixed partial dentures. *Dental Materials*, (22), 374-381.
- [20] Vistasp M. Karbhari, Strassler H. (2007). Effect of fiber architecture on flexural characteristics and fracture of fiber-reinforced dental composites. *Dental Materials*, (23), 960-968.
- [21] Luiz E. Bertassoni, Grayson W. Marshall, Evelise Machado de Souza, Rodrigo Nunes Rached. (2008). Effect of pre-and postpolymerization on flexural strength and elastic modulus of impregnated, fiber-reinforced denture base acrylic resins. *J Prosthet Dent*, (100), 449-457.

ເອກສາර້ອ້າງອີງ (ຕອ)

- [22] Lastumaki TM, Kallio TT, Vallittu PK. (2002). The bond strength of light-curing composite resin to finally polymerized and aged glass fiber-reinforced composite substrate. *Biomaterials*, (23), 4533-4539.
- [23] Garoushi S., Pekka K. Vallittu, LassilaLippo VJ. (2007). Fracture resistance of short, randomly oriented glass fiber-reinforced composite premolar crowns. *ActaBiomaterialia*, (3), 779-784.
- [24] Meric G., EysteinRuyter I. (2002). Effect of thermal cycling on composites reinforced with two differently sized silica-glass fiber. *Dental Materials*, (23), 1157-1163.
- [25] Spyrides S.M.M., Bastian F.L. (2004). In vitro comparative study of the mechanical behavior of a composite matrix reinforced by two types of fibers (polyethylene and glass). *Materials Science and Engineering*, (24), 671-677.
- [26] Hockin H.K Xu, Janet B.Quinn, Douglas T. Smith, Anthony A. Giuseppetti, Frederick C. (2003). Eichmiller.Effects of different whiskers on the reinforcement of dental resin composites. *Dental Material*, 19359-367.
- [27] Xia Y., Zhang F., Xie H., Gu N. (2008). Nanoparticle-reinforced resin-based dental composites. *J.Dentistry*, (36), 450-455.
- [28] Sideridou I., Tserki V., Papanastasiou G. (2003). Study of water sorption, solubility and modulus of elasticity of light-cured dimethacrylate-based dental resins. *Biomaterials*, 24655-665.
- [29] Wang H., Zhu M., Li Y., Zhang Q., Wang H. (2011). Mechanical properties of dental resin composites by co-filling diatomite and nanosized silica particles. *Materials science and Engineering*, (C31), 600-605.
- [30] Tu M. G., Liang W. M., Wu T.C., Chen S.Y. (2009). Improving the mechanical properties of fiber-reinforced acrylic denture-base resin. *Materials and Design*, (30), 2468-2472.
- [31] Vuorinen A.M., Dyer S.R., Lassila L.V.J., Vallittu P.K. (2008). Effect of rigid rod polymer filler on mechanical properties of poly-methyl methacrylate denture base material. *Dental Materials*, 24708-713.

เอกสารอ้างอิง (ต่อ)

- [32] Asaoka K., Hirano S. (2003). Diffusion coefficient of water through dental composite resin. *Biomaterials*, 24975-979.
- [33] Ellakwa A., Cho N., Lee I.B. (2007). The effect of resin matrix composition on the polymerization shrinkage and rheological properties of experimental dental composites. *Dental Materials*, (23), 1229-1235.
- [34] Mesquita R.V., Axmann D., Gerstorfer G.J. (2006). Dynamic visco-elastic properties of dental composite resins. *Dental Materials*, (22), 258-267.
- [35] Joel R. Fried. (2003). *Polymer Science And Technology*. (2nd edition). U.S.A.: Pearson Education, Inc.
- [36] เจน รัตน์ไพศาล. (2533). *ทันตวัสดุศาสตร์*. (พิมพ์ครั้งที่สอง). กรุงเทพฯ: บริษัทสำนักพิมพ์ไทยวัฒนาพาณิช จำกัดมหานคร.
- [37] Council on Dental Material and Device. *Guide to Dental Materials and Devices*, American Dental Association (sixth edition), 1972-1973.
- [38] Jacob J., Shivaputrappa A., Gangadhar , Ila S. (2001). Flexural strength of heat-polymerized polymethyl methacrylate denture resin reinforced with glass, aramid, or nylon fibers. *J.Dentistry*, (86), 424-427.
- [39] Gülay U., Nur H., Teoman T. (1999). Effect of five woven fiber reinforcements on the impact and transverse strength of a denture base resin. *J. Prosthetic Dentistry*, 81616-620.
- [40] Ming-Gene T., Wen-Muin L., Tai-Chin W., San-Yue C. (2009). Improving the mechanical properties of fiber-reinforced acrylic denture-base resin. *Materials and Design*, (30), 2468-2472.
- [41] Cowie, J.M.G. (1991). *Polymers: Chemistry and Physics of Modern Materials* (2nd edition). Chapman and Hall.
- [42] บุญรักษ์ สร้อยระย้า. พอติเมอร์คอมโพสิต. กรุงเทพฯ: ศูนย์เทคโนโลยีโลหะและวัสดุแห่งชาติ.
- [43] อรุษา สรวารี (2546). *สารเติมแต่งพอติเมอร์ เล่ม 1* : กรุงเทพฯ: โรงพิมพ์แห่งจุฬาลงกรณ์มหาวิทยาลัย.
- [44] จินตมัย สุวรรณประทีป (2547). *การทดสอบสมบัติทางกลของพลาสติก*. กรุงเทพฯ: สมาคมส่งเสริมเทคโนโลยี (ไทย-ญี่ปุ่น).

ภาคผนวก ก

ตารางการบันทึกผลการทดสอบสมบัติแรงดดโค้ง
สมบัติต้านทานต่อแรงกระแทกและสมบัติแรงอัด

มหาวิทยาลัยพะรังสี

ตารางที่ ก.1 ตารางบันทึกผลการทดสอบสมบัติการรับแรงตัวคง

| | | Young's Modulus of Bending (MPa) | | | | | |
|------------------------|-----------|----------------------------------|---------------|--------------------|-----------------------|--------------------|-----------------------|
| ร้อยละเส้นใย % wt/v | ชั้นทดสอบ | ชนิดเส้นใย | | | ข่าวางขนาด | | |
| | | ตัวรับ | ไม่เป็นเชิงลน | เป็นเชิงลน 2%wt | ไม่เป็นเชิงลน 2%wt | เป็นเชิงลน 2%wt | ไม่เป็นเชิงลน 2%wt |
| 1 | 1 | 272.980 | 398.370 | 252.530 | 320.360 | 240.530 | 368.450 |
| | 2 | 282.640 | 341.900 | 274.880 | 320.910 | 249.800 | 332.720 |
| | 3 | 348.030 | 294.760 | 214.540 | 384.150 | 312.740 | 409.460 |
| | 4 | 310.060 | 492.650 | 198.870 | 350.720 | 224.340 | 381.650 |
| | 5 | 336.290 | 336.320 | 231.680 | 406.160 | 228.330 | 335.630 |
| 2 | ค่าเฉลี่ย | 310.000 | 372.800 | 234.500 | 356.460 | 251.148 | 365.582 |
| | 1 | 264.920 | 409.390 | 283.530 | 372.920 | 249.500 | 369.520 |
| | 2 | 396.770 | 287.050 | 266.050 | 413.830 | 263.990 | 273.810 |
| | 3 | 278.050 | 374.160 | 252.730 | 236.860 | 236.710 | 331.890 |
| | 4 | 299.700 | 344.790 | 251.410 | 325.850 | 291.940 | 272.830 |
| 4 | 5 | 291.700 | 341.080 | 304.340 | 302.280 | 242.350 | 315.100 |
| | ค่าเฉลี่ย | 306.228 | 351.294 | 271.611 | 330.348 | 256.898 | 312.630 |
| | 1 | 251.770 | 376.520 | 178.080 | 364.260 | 44.084 | 260.060 |
| | 2 | 395.520 | 416.240 | 160.300 | 202.990 | 229.360 | 237.110 |
| | 3 | 261.890 | 386.210 | 262.370 | 238.390 | 176.070 | 354.790 |
| 5 | 4 | 331.670 | 467.250 | 231.530 | 219.360 | 71.013 | 305.520 |
| | 5 | 267.270 | 420.720 | 221.700 | 254.980 | 86.446 | 253.990 |
| | ค่าเฉลี่ย | 301.624 | 413.388 | 210.796 | 255.996 | 121.395 | 282.294 |

ตารางที่ 7.2 ตารางบันทึกผลการทดสอบเบ็ดเตล็ดการรับแรงกระแทก

| ร้อยละส่วนใหญ่ % wt/v | ชั้นทดสอบ | Impact strength (J/mm ²) | | | | | |
|--------------------------|-----------|--------------------------------------|------------------|------------------|-------------|-----------|-------------------|
| | | ชนิดสัมภาระ | | | ชนิดเชือก | | |
| | | ผ้าชีฟอง 2%wt | ผ้าชีฟอง 5%wt | ผ้าชีฟอง 2%wt | เย็บริบบิ้ง | เย็บเชือก | เย็บเชือก 2%wt |
| 1 | 1 | 0.242 | 0.248 | 0.255 | 0.237 | 0.195 | 0.252 |
| | 2 | 0.233 | 0.248 | 0.253 | 0.235 | 0.245 | 0.253 |
| | 3 | 0.233 | 0.247 | 0.257 | 0.220 | 0.213 | 0.257 |
| | 4 | 0.188 | 0.258 | 0.247 | 0.247 | 0.257 | 0.253 |
| | 5 | 0.202 | 0.242 | 0.225 | 0.235 | 0.235 | 0.263 |
| 2 | ค่าเฉลี่ย | 0.220 | 0.249 | 0.247 | 0.235 | 0.229 | 0.256 |
| | 1 | 0.255 | 0.253 | 0.183 | 0.225 | 0.250 | 0.237 |
| | 2 | 0.248 | 0.253 | 0.240 | 0.213 | 0.247 | 0.222 |
| | 3 | 0.248 | 0.253 | 0.217 | 0.203 | 0.225 | 0.245 |
| | 4 | 0.248 | 0.247 | 0.217 | 0.237 | 0.245 | 0.232 |
| 4 | 5 | 0.248 | 0.247 | 0.235 | 0.230 | 0.222 | 0.242 |
| | ค่าเฉลี่ย | 0.250 | 0.251 | 0.218 | 0.222 | 0.238 | 0.235 |
| | 1 | 0.235 | 0.253 | 0.203 | 0.190 | 0.218 | 0.237 |
| | 2 | 0.242 | 0.247 | 0.203 | 0.182 | 0.230 | 0.252 |
| | 3 | 0.230 | 0.242 | 0.170 | 0.192 | 0.247 | 0.252 |
| 5 | 4 | 0.230 | 0.233 | 0.175 | 0.192 | 0.233 | 0.250 |
| | ค่าเฉลี่ย | 0.233 | 0.243 | 0.180 | 0.158 | 0.208 | 0.242 |
| | | | 0.244 | 0.186 | 0.183 | 0.227 | 0.246 |

ตารางที่ ก.3 ตารางบันทึกผลการทดสอบเบื้องต้นการรับแรงดัน

| ร้อยละเส้นใย % ph/s | ชั้นทดสอบ | compressive strength (N/mm ²) | | | | | |
|------------------------|------------------|-------------------------------------------|------------------|------------------|------------------|------------------|------------------|
| | | ที่มีผลเส้นใย | | | ที่ขาด | | |
| | | ตัดถี่ | เย็บร่างชานาน | ไม่เย็บชานาน | ตัดถี่ | เย็บชานาน | ไม่เย็บชานาน |
| แม่เหล็ก 2%wt | แม่เหล็ก 2%wt | แม่เหล็ก 2%wt | แม่เหล็ก 2%wt | แม่เหล็ก 2%wt | แม่เหล็ก 2%wt | แม่เหล็ก 2%wt | แม่เหล็ก 2%wt |
| 1 | 1 | 0.061 | 0.059 | 0.061 | 0.063 | 0.056 | 0.052 |
| | 2 | 0.057 | 0.100 | 0.060 | 0.062 | 0.058 | 0.062 |
| | 3 | 0.061 | 0.150 | 0.062 | 0.061 | 0.068 | 0.062 |
| | 4 | 0.059 | 0.095 | 0.062 | 0.063 | 0.066 | 0.062 |
| | 5 | 0.063 | 0.056 | 0.062 | 0.063 | 0.061 | 0.055 |
| 2 | 1 | 0.060 | 0.092 | 0.061 | 0.062 | 0.062 | 0.058 |
| | 2 | 0.066 | 0.061 | 0.059 | 0.061 | 0.059 | 0.062 |
| | 3 | 0.061 | 0.062 | 0.060 | 0.062 | 0.065 | 0.061 |
| | 4 | 0.051 | 0.062 | 0.055 | 0.067 | 0.063 | 0.064 |
| | 5 | 0.062 | 0.060 | 0.057 | 0.061 | 0.056 | 0.061 |
| 4 | 1 | 0.060 | 0.061 | 0.058 | 0.063 | 0.062 | 0.062 |
| | 2 | 0.056 | 0.061 | 0.061 | 0.078 | 0.065 | 0.062 |
| | 3 | 0.057 | 0.061 | 0.062 | 0.058 | 0.060 | 0.061 |
| | 4 | 0.061 | 0.061 | 0.061 | 0.064 | 0.062 | 0.056 |
| | 5 | 0.054 | 0.061 | 0.057 | 0.063 | 0.056 | 0.059 |
| ค่าเฉลี่ย | | 0.063 | 0.062 | 0.061 | 0.061 | 0.057 | 0.060 |
| ค่าเบี่ยง 0.058 | | 0.058 | 0.061 | 0.064 | 0.062 | 0.059 | 0.060 |

ตารางที่ ก.4 ตารางบันทึกผลการทดสอบบัตเติ้งกลูตอง PMMA

| รุ่ยละเอียด % wt/v | อัตราทดสอบ | Young's Modulus of Bending (MPa) | Impact strength (J/mm ²) | compressive strength (N/mm ²) |
|-----------------------|------------|-------------------------------------|-----------------------------------------|----------------------------------------------|
| Pure PMMA | 1 | 286.470 | 0.180 | 0.057 |
| | 2 | 369.030 | 0.190 | 0.094 |
| | 3 | 237.780 | 0.192 | 0.063 |
| | 4 | 293.920 | 0.167 | 0.064 |
| | 5 | 308.230 | 0.180 | 0.062 |
| ค่าเฉลี่ย | | 299.086 | 0.182 | 0.068 |